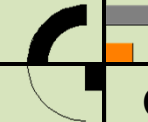




**GRAĐEVINSKI FAKULTET  
ZAVOD ZA KONSTRUKCIJE  
KATEDRA ZA MOSTOVE**

# **ČELIČNE ORTOTROPNE PLOČE U MOSTOVIMA**



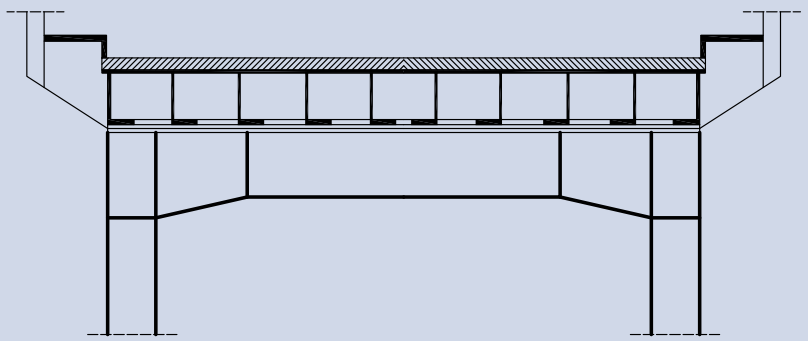
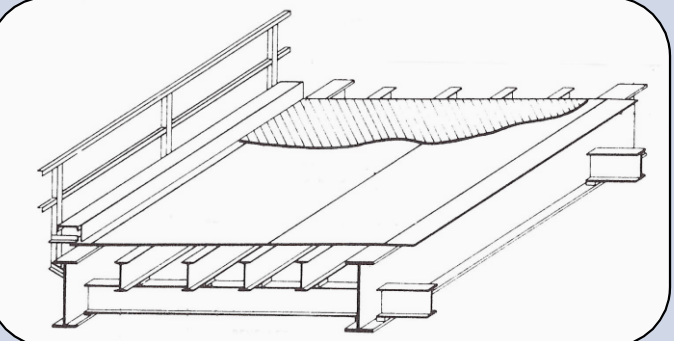


# Nastanak i razvoj

## Uskopojasni glavni nosači

### Okolnosti koje su dovele do izvedbe prve ortotropne ploče na mostu

- najveći problem kod mostova do početka 20.st. je bila njihova vlastita težina (do 80% ukupnog opterećenja mosta) jer kolnička ploča nije bila integrirana u glavni nosivi sustav
- pojava cestovnih vozila s sve većim osovinskim opterećenjima

Europa (Njemačka)	Amerika i Kanada
oko 1930. lagane čelijaste konstrukcije 	1930. <i>Battledeck floor</i> 
- gusi roštilji od laganih profila - prevelike deformacije uz neiskorištenost lima - nadvožnjak kod Jungingen-a iz 1934.	- povećanje dozvoljenih naprezanja za 40%! - ograničavajući faktor cijena - primarno za rekonstrukcije
1937. Prva tvornice vagona, strojeva i mostova d.d. iz Slavonskog Broda patentira kolnički ploču izvedenu od niza poprečnih i uzdužnih rebara	



## Nastanak i razvoj

### Europa (Njemačka)

**1948.** ortotropna prvi puta kao gornji pojas glavnih nosača – Deutzer Brücke preko Rajne kod Kölna



**50-ih godina 20.st obnavljaju se mostovi iz rata – koristi se ortotropna ploča:**

**1950.** most Kurpfalzbrücke

**1951.** viseći most Köln-Mülheim

**1951.** most na autoputu Düsseldorf-Neuss

**1957.** zavješeni most

Theodor-Heuss-Brücke preko Rajne kod Düsseldorf-a



**1954.** nepravi viseći most Friedrich-Ebert-Brücke – prva upotreba zatvorenog trapeznog rebra

**1961.** most preko rijeke Fulda u Bergshausen-u – Y rebra

- do 1960. izvedeno već oko 40 mostova sa

ortotropnom pločom

- uštede u čeliku u odnosu na stare mostove su do 35%!

### Amerika i Kanada

**1965.** most Port Mann u Coquitlam-u – prvi most s ortotropnom pločom u Kanadi



**1967.** most St. Louis preko rijeke Mississippi (most Bernard F. Dickman) – prvi most s ortotropnom pločom u Americi





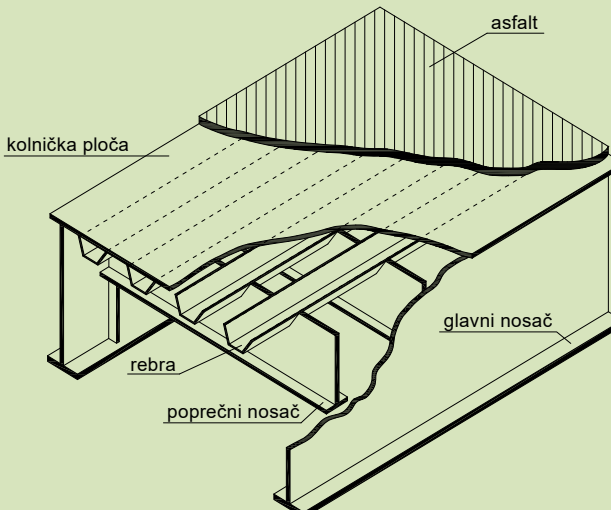
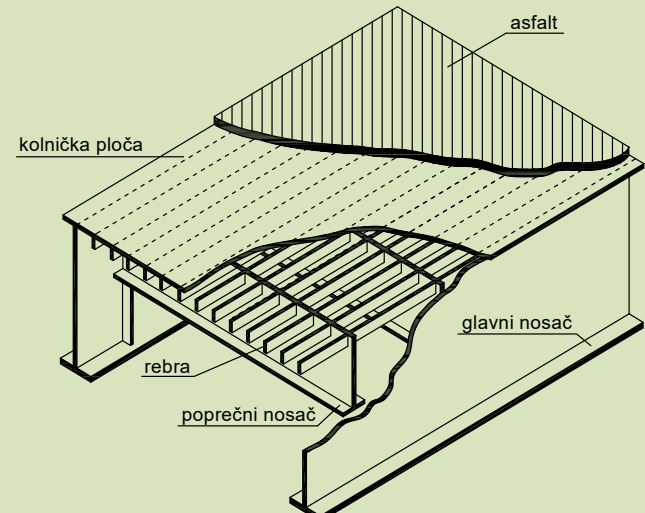
# Pregled suvremenih tipova

## Elementi ortotropne ploče

- Glavni dijelovi ortotropne ploče su lim kolnika, uzdužna rebra i poprečni nosači
- Nosač(i) u čijem je sastavu ortotropna ploča mogu biti otvorenog ili zatvorenog presjeka

## Rezerve u nosivosti ovog sustava postoje jer:

- postoji veliki potencijal za preraspodjelu naprezanja uslijed izazvanih deformacija,
- su moguća prekoračenja naprezanja u područje plastične deformacije - popuštanje i otkazivanje jednog rebra ne dovodi do otkazivanja čitave konstrukcije jer se opterećenje preraspodjeljuje,
- pod povećanim opterećenjem čitava ploča pokazuje membransko djelovanje sa mnogo većom nosivošću od nosivosti na savijanje,
- **da bi se iskoristile ove rezerve moraju se pretpostaviti deformacije koje nisu dopuštene zbog uvjeta uporabe!**

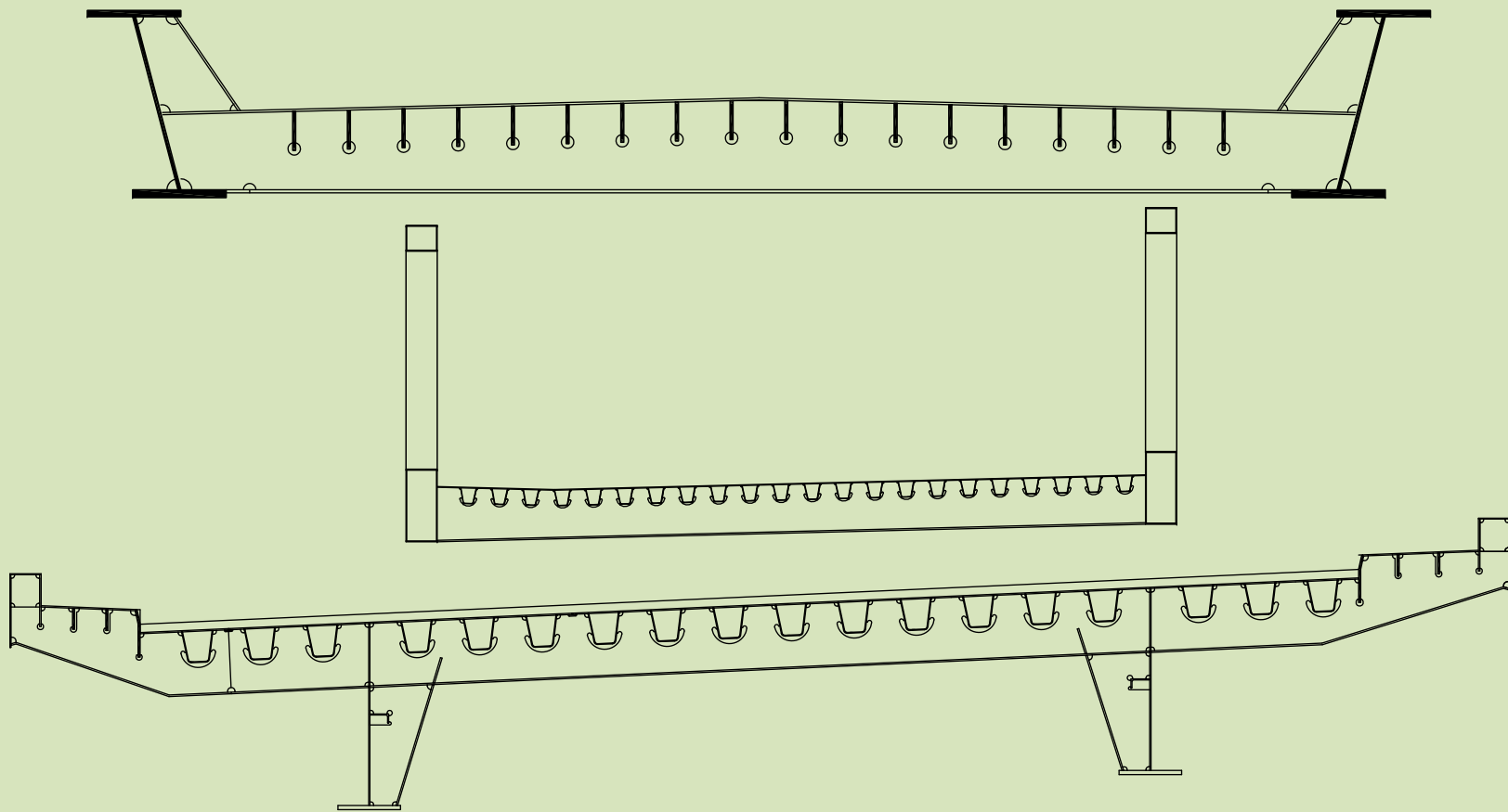




## Pregled suvremenih tipova

# Ortotropne ploče u otvorenim presjecima

- ortotropna ploča u otvorenom presjeku na punostijenim čeličnim nosačima
- postoji roštiljno djelovanje
- u tom slučaju ortotropna ploča se diskretizira u štapne uzdužne elemente roštilja
- varijacije gdje se ortotropna ploča nalazi u visini gornjeg pojasa, hrpta ili donjeg pojasa uzdužnih nosača





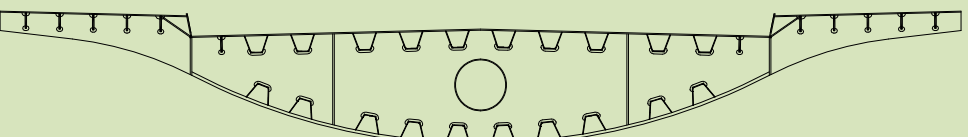
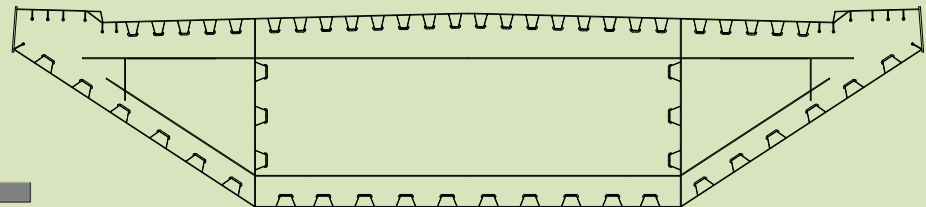
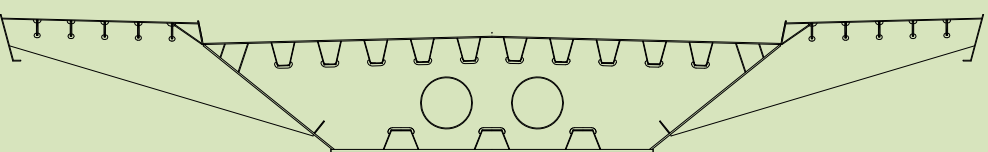
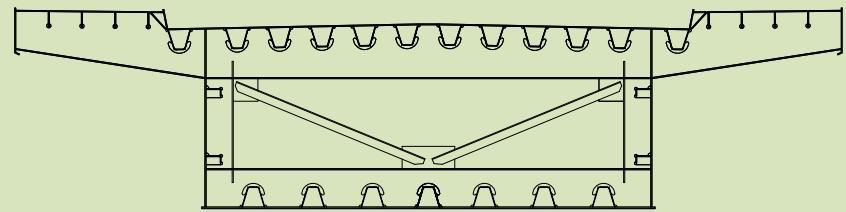
## Ortotropne ploče u otvorenim presjecima

- ortotropna ploča u otvorenom presjeku na punostijenim čeličnim nosačima
- postoji roštiljno djelovanje
- u tom slučaju ortotropna ploča se diskretizira u štapne uzdužne elemente roštilja
- varijacije gdje se ortotropna ploča nalazi u visini gornjeg pojasa, hrpta ili donjeg pojasa uzdužnih nosača



## Ortotropne ploče u sandučastim presjecima

- uobičajeni presjek za ortotropne ploče (rasponi kontinuiranih nosača do 300 m!)
- naročito primjenjiv za viseće i ovješene mostove zbog velike torzijske krutosti
- jednostavna izvedba montažnim postupkom gdje se u radionici izvode segmenti rasponskog sklopa do 12m
- oblikovne varijacije sa kosim ili zakrivljenim hrptovima i/ili pojasicama





## Otvorena rebra

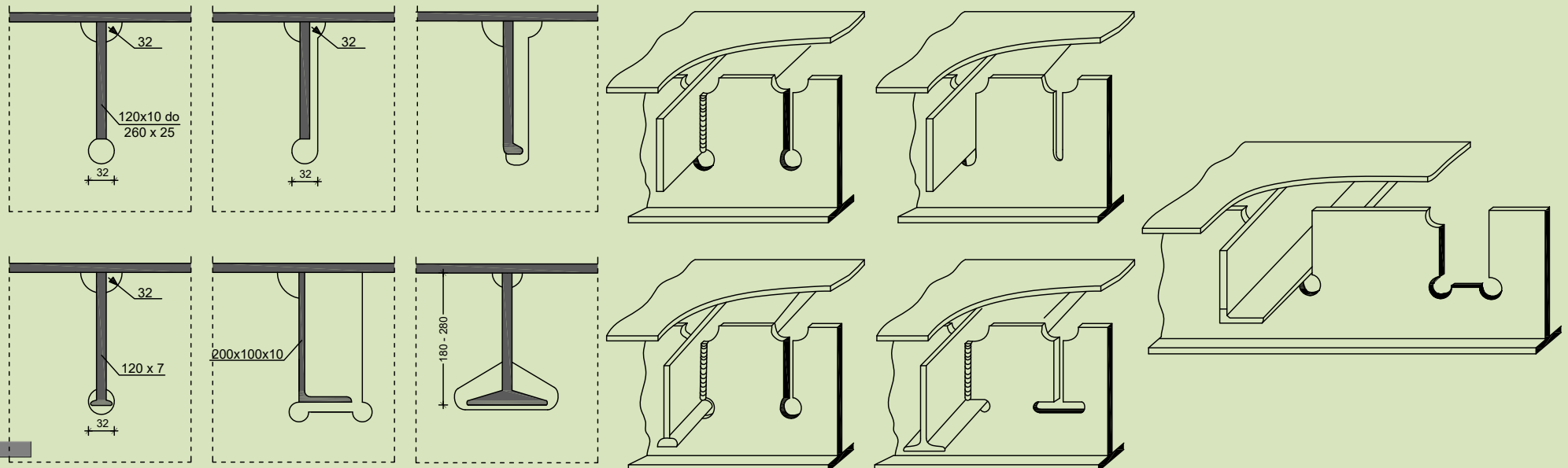
### Prednosti

- jednostavna radionička i montažna izvedba
- moguća jednostavna varijacija rebra po visini duž mosta
- sve površine su podložne pregledu



### Nedostaci

- mala torzijska krutost koja onemogućava dobru raspodjelu opterećenja na susjedna rebra
- posljedica ovoga su potrebni mali razmaci između takvih rebara, pa su ove ploče općenito teže
- velika količina zavara (otprilike dvostruko veća nego kod ploča sa zatvorenim rebrima)





## Pregled suvremenih tipova

### Otvorena rebra





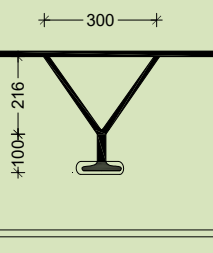
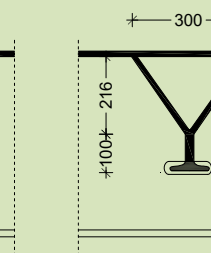
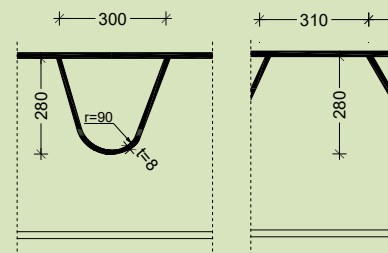
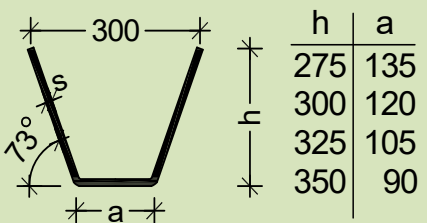
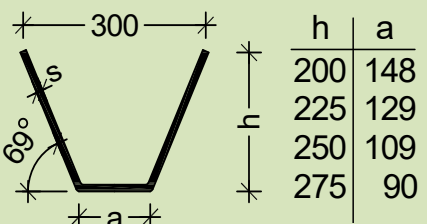
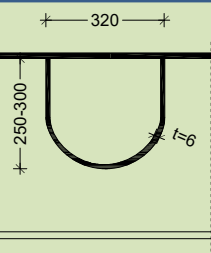
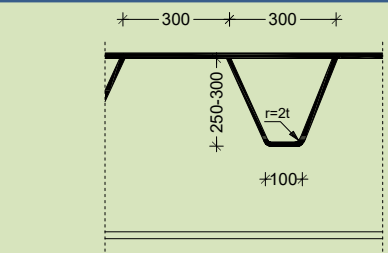
## Zatvorena rebra

### Prednosti

- vrlo povoljna raspodjela koncentriranih opterećenja
- za izvedbu potrebno je dvostruko manje zavara nego kod ploča sa otvorenim rebrima
- poprečni nosači mogu biti na većim razmacima pa je izvedba racionalnija
- manja težina ploče
- zatvoreni tankostijeni presjeci posjeduju veliku elastičnu stabilnost

### Nedostaci

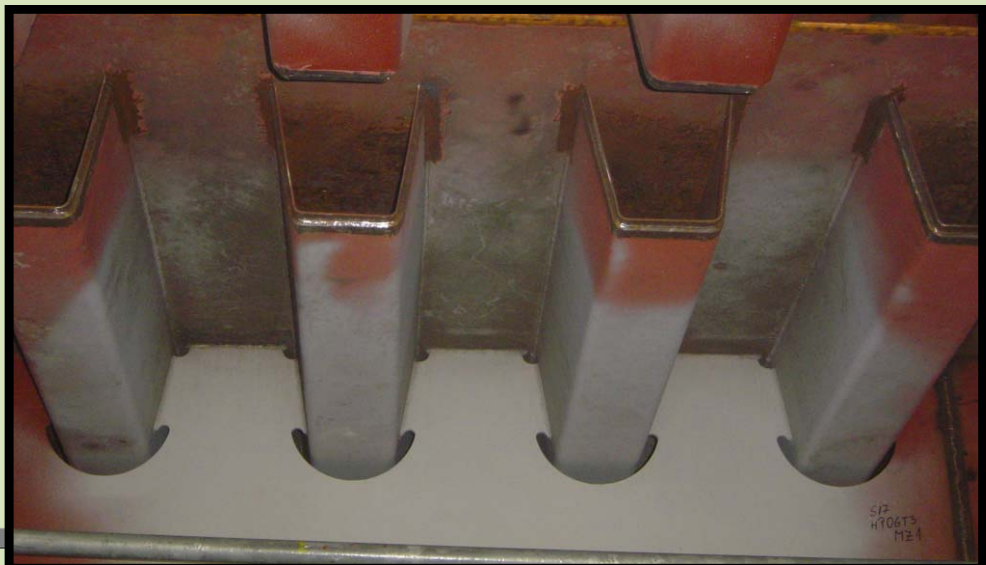
- složena izvedba i spajanje na gradilištu, potrebna je velika preciznost
- površine unutar zatvorenog rebra nisu dostupne pregledu
- varijacije po visini nisu jednostavno izvedive





## Pregled suvremenih tipova

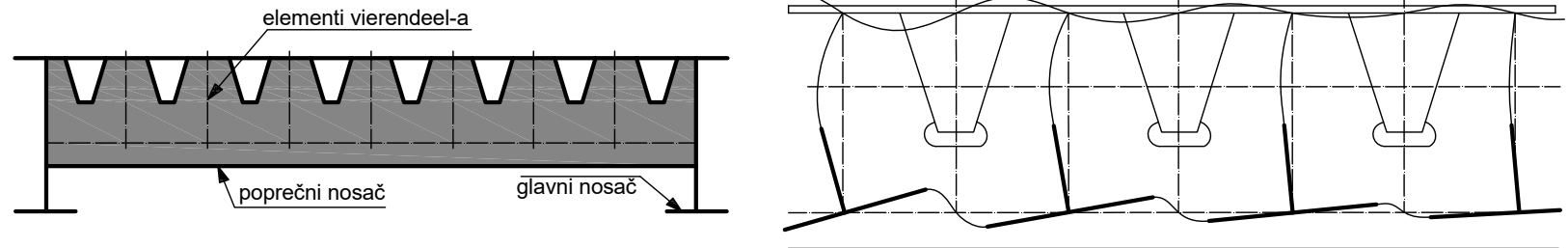
### Zatvorena rebra





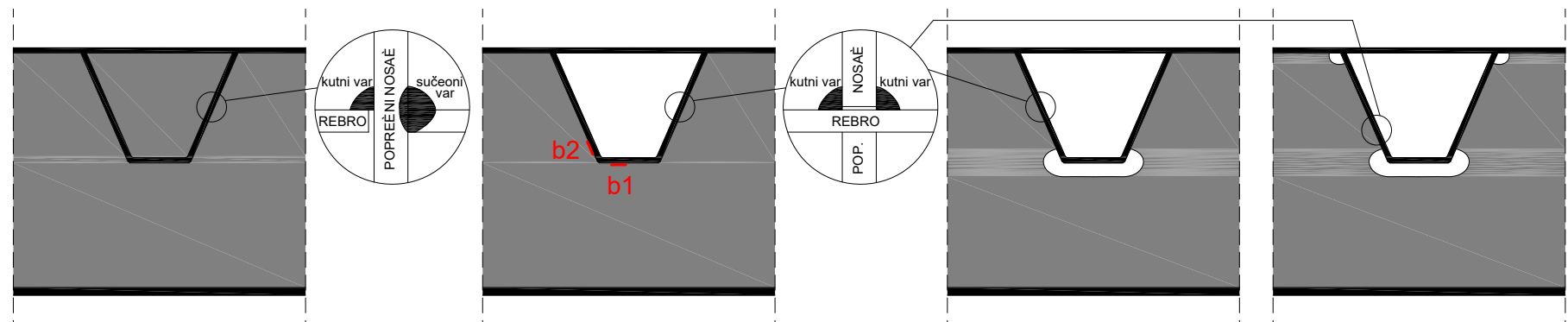
## Poprečni nosač

- oblikovani kao obrnuti T presjeci
- uobičajeni razmak poprečnih nosača iznosi od 2 do 5 m (manji kod otvorenih rebara)
- razmak poprečnih nosača trebao bi biti veći kod širih ploča
- izrezi za kontinuitet rebra – oslabljenje presjeka – visina izreza je manja od 40% visine rebra
- poprečni nosač se računa prema modelu Vierendeel-a



## Spoj rebra s poprečnim nosačem

- problemi nastanka pukotina u okolini spoja rebra i poprečnog nosača
- u slučaju rebra bez koncentracijskih rupa naprezanja u **b1** su oko 1,5 do 4 puta veća nego u **b2**
- poprečni nosači trebali bi što više djelovati kao slobodni oslonci, odnosno rebra svoje savijanje ne bi trebala prenositi u poprečni nosač

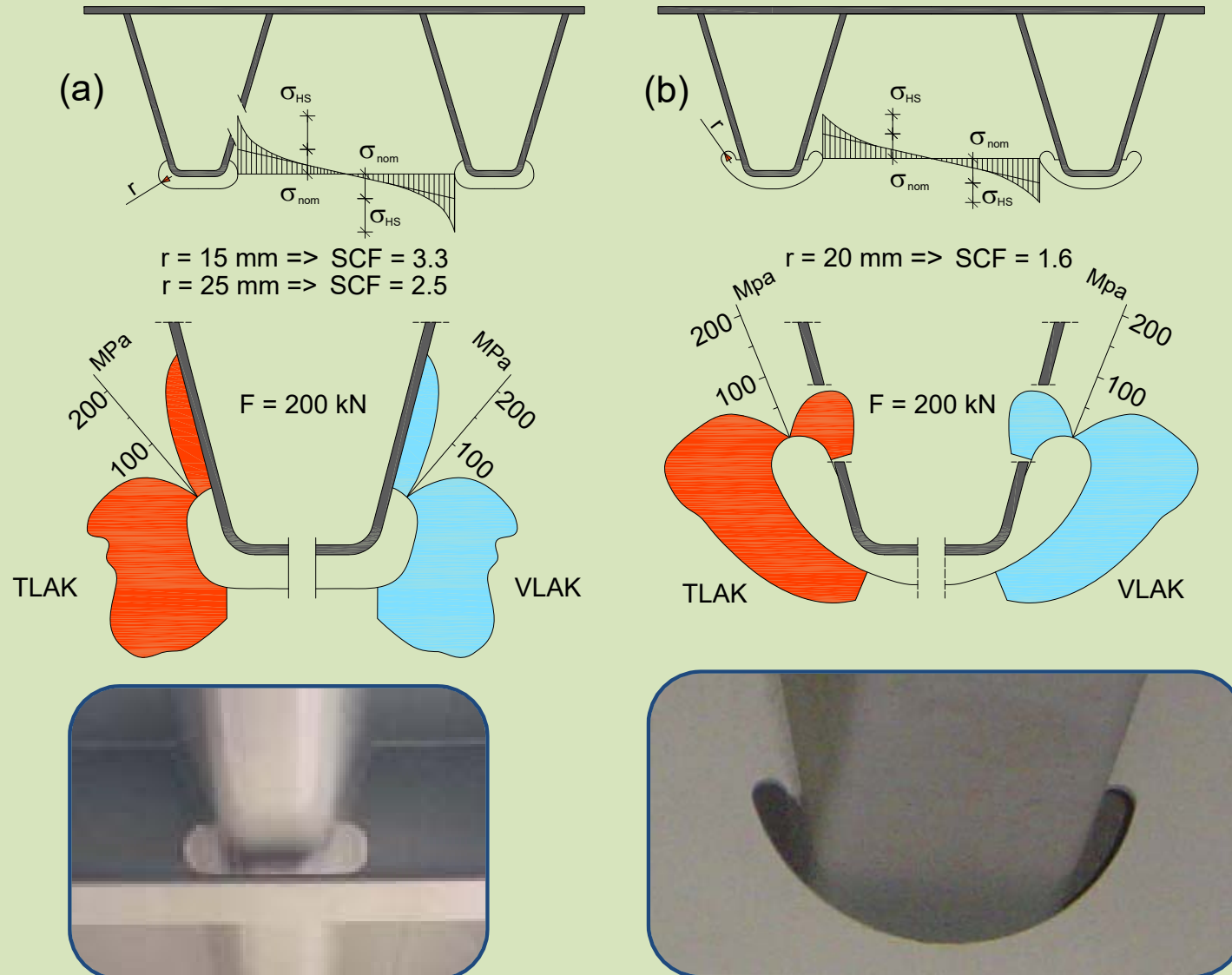




## Pregled suvremenih tipova

### Spoj rebra s poprečnim nosačem

- SCF ("stress concentration factor") za ovalne izreze i za tzv. "Haibach" izreze





# Proračun ortotropnih ploča

## Osnovni izrazi jednadžbe ploče i njene transformacije

$$M_y = -D_y \left( \nu_x \frac{\partial^2 w}{\partial x^2} + \frac{\partial^2 w}{\partial y^2} \right)$$

$$M_x = -D_x \left( \frac{\partial^2 w}{\partial x^2} + \nu_y \frac{\partial^2 w}{\partial y^2} \right)$$

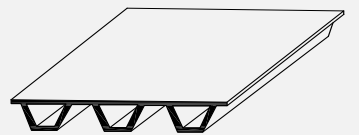
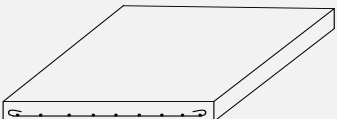
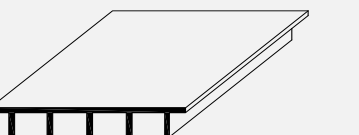
$$M_{xy} = M_{yx} = -2D_{xy} \frac{\partial^2 w}{\partial x \partial y}$$

$$R_x = V_x - \frac{\partial M_{xy}}{\partial y} = -D_x \left( \frac{\partial^3 w}{\partial x^3} + 2 \frac{H}{D_x} \frac{\partial^3 w}{\partial x \partial y^2} \right)$$

$$R_y = V_y - \frac{\partial M_{xy}}{\partial x} = -D_y \left( \frac{\partial^3 w}{\partial y^3} + 2 \frac{H}{D_y} \frac{\partial^3 w}{\partial y \partial x^2} \right)$$

$$D_x \frac{\partial^4 w}{\partial x^4} + 2H \frac{\partial^4 w}{\partial x^2 \partial y^2} + D_y \frac{\partial^4 w}{\partial y^4} = p(x, y); \quad D_x = \frac{E_x h^3}{12(1-\nu_x \nu_y)}; \quad D_y = \frac{E_y h^3}{12(1-\nu_x \nu_y)}$$

$$D_{xy} = \frac{G_{xy} h^3}{12}; \quad G_{xy} = \frac{E_x E_y}{E_x + (1+2\nu_{xy})E_y}; \quad \nu_{xy} = \frac{E_x}{E_y} \nu_{yx}; \quad 2H = D_x \nu_y + D_y \nu_x + 4D_{xy}$$

Uvjeti torzijske krutosti	Primjena uz zadani uvjet	Dodatni uvjeti krutosti na savijanje	Primjena uz dodatan uvjet
$H^2 > D_x D_y$	ploča sa velikom torzijskom krutošću $D_x \frac{\partial^4 w}{\partial x^4} + 2H \frac{\partial^4 w}{\partial x^2 \partial y^2} + D_y \frac{\partial^4 w}{\partial y^4} = p(x, y)$	poprečna krutost se zanemaruje $D_x = 0$	<b>ortotropna ploča sa zatvorenim rebrima</b> $2H \frac{\partial^4 w}{\partial x^2 \partial y^2} + D_y \frac{\partial^4 w}{\partial y^4} = p(x, y)$ 
$H^2 = D_x D_y$	armiranobetonska ploča (armatura u x i y smjeru uzrokuje ortotropnost) $D_x \frac{\partial^4 w}{\partial x^4} + 2H \frac{\partial^4 w}{\partial x^2 \partial y^2} + D_y \frac{\partial^4 w}{\partial y^4} = p(x, y)$ 	izotropnost i homogenost ploče i materijala $H = D_x = D_y = D$	potpuno izotropna ploča $\frac{\partial^4 w}{\partial x^4} + 2 \frac{\partial^4 w}{\partial x^2 \partial y^2} + \frac{\partial^4 w}{\partial y^4} = \frac{p(x, y)}{D}$ $D = \frac{Eh^3}{12(1-\nu^2)}$
$H^2 < D_x D_y$	ploča s malom torzijskom krutošću $D_x \frac{\partial^4 w}{\partial x^4} + 2H \frac{\partial^4 w}{\partial x^2 \partial y^2} + D_y \frac{\partial^4 w}{\partial y^4} = p(x, y)$	poprečna krutost se zanemaruje $D_x = H = 0$	<b>ortotropna ploča sa otvorenim rebrima</b> $\frac{\partial^4 w}{\partial y^4} = \frac{p(x, y)}{D_y}$ 

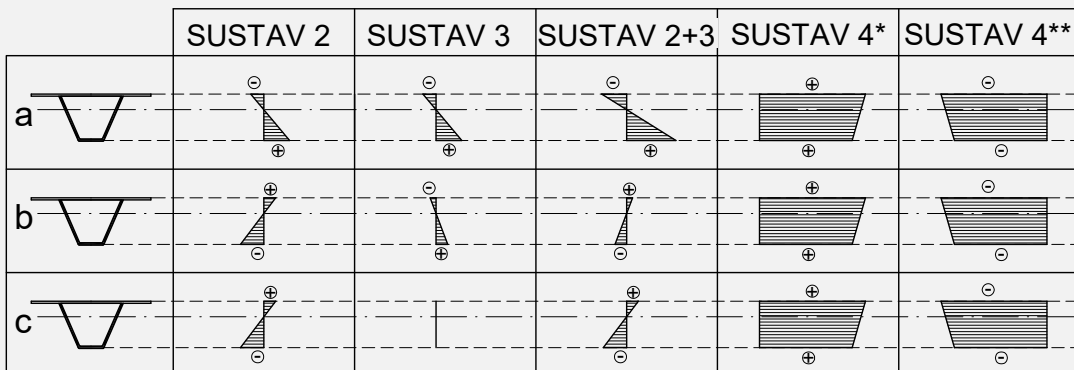
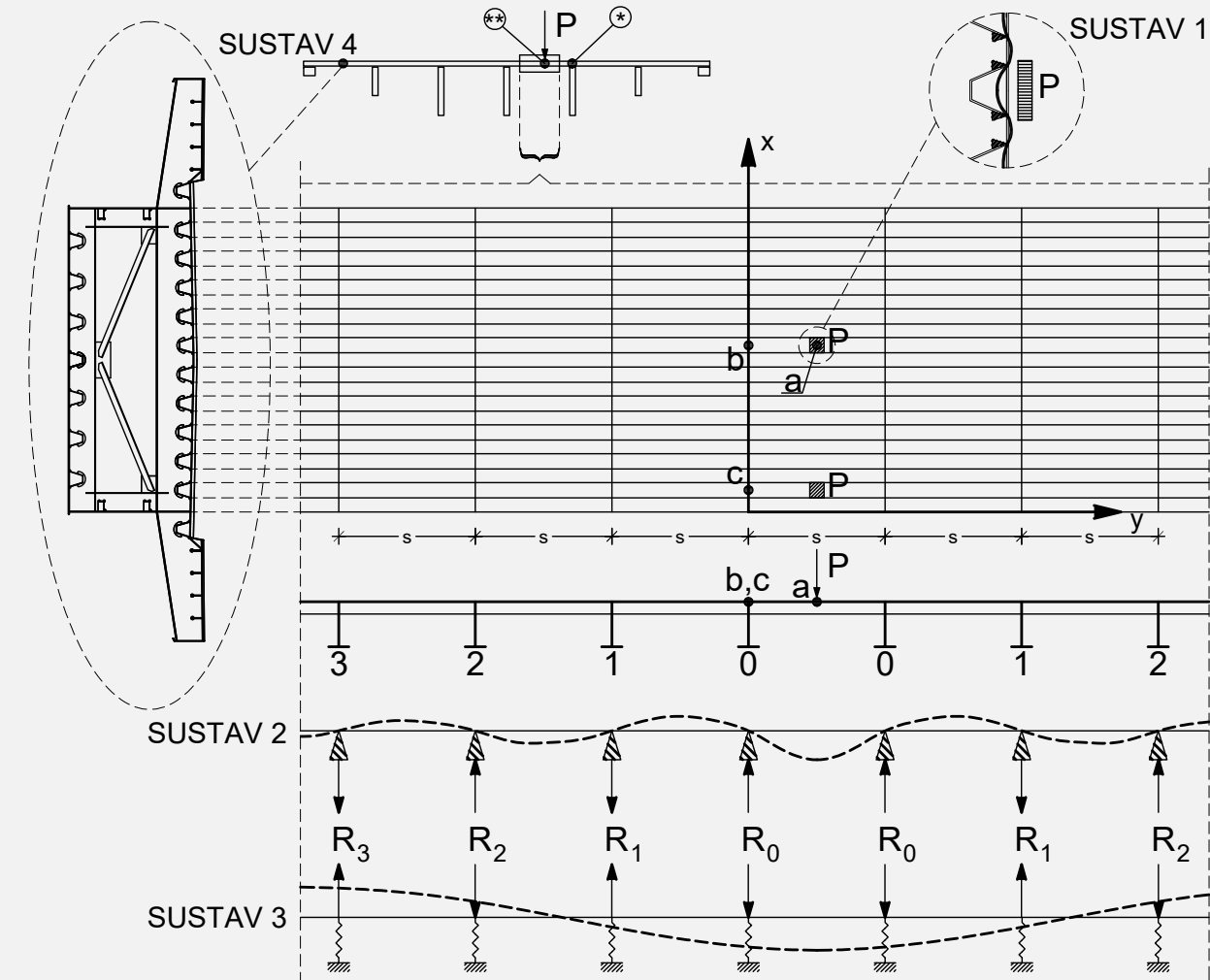
# Proračun ortotropnih ploča



- SISTEM 1
- SISTEM 2
- SISTEM 3
- SISTEM 4

## Sustavi nosivosti

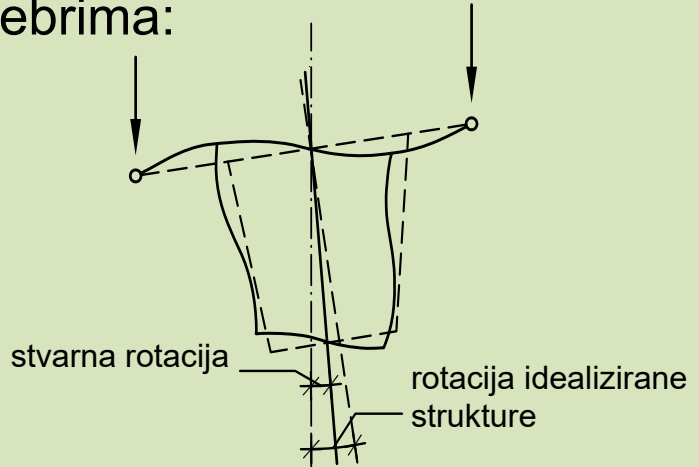
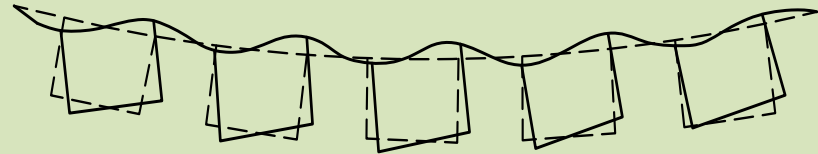
- promatra se ravni lim ploče uzdužno oslonjen na rebra, a poprečno na hrptove poprečnih nosača
- sklop ravnog lima ploče zajedno s rebrima kao ortotropna ploča oslonjena na uzdužne i poprečne nosače koji su nepopustljivi
- utjecaj popuštanja poprečnih nosača na ortotropnu ploču
- aktivira se roštiljno djelovanje
- ortotropna ploča se promatra u spregnutom djelovanju sa glavnim nosačima
- ortotropna ploča kao gornji pojas sanduka





## Torzijska krutost

Aktiviranje torzijske krutosti u zatvorenim rebrima:



Iscrtana linija - deformacija kada je lim ploče dostatno krut - rebra u potpunosti svojom torzijskom krutošću sudjeluju u raspodjeli opterećenja na ploči

U suprotnom razmatranju, kada prepostavljamo da je ploča fleksibilna, ne postoji dostatno torzijsko zakretanje rebra uslijed opterećenja ploče pa se torzijska krutost rebra ne može aktivirati.

U stvarnosti niti jedan od ova dva slučajeva nije točan jer lim ploče posjeduje određenu krutost na savijanje pa se rebra donekle torzijski zakreću.



## Torzijska krutost

Redukcija torzijske krutosti rebra zbog fleksijskih deformacija ploče:

- od 5 do 50%
- ovisi o geometrijskim odnosima i odnosima debljina limova rebra i ploče
- izračun redukcijskog faktora  $\mu$ :

$$\frac{1}{\mu} = 1 + \frac{GI_T}{EI_0} \frac{a^3}{12 \cdot (a+e)^2} \left( \frac{\pi}{s_2} \right) \left[ \left[ \left( \frac{e}{a} \right)^3 + \left( \frac{e-b}{a+b} + \lambda \right)^2 + \frac{\lambda}{\kappa} \left( \frac{b}{a} \right)^3 \right] + \left[ \frac{24}{\kappa} \frac{h'}{a} \left( c_1^2 + c_1 c_2 + \frac{c_2^2}{3} \right) \right] \right]$$

gdje su:

$$GI_T = G \frac{4 A_m^2}{\sum \frac{u}{t}} \quad - \text{torzijska krutost zatvorenog rebra}$$

$$EI_0 = \frac{Et_p^3}{10,92} \quad - \text{krutost ploče}$$

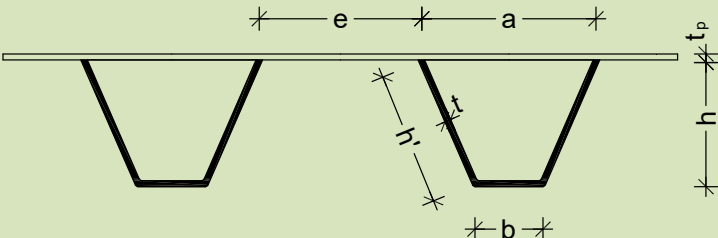
$$\kappa = \left( \frac{t}{t_p} \right) \quad - \text{odnos krutosti limova}$$

$$s_2 = 0,81 \cdot s \quad - \text{raspon za torziju}$$

$$c_1 = \frac{\lambda b}{2a}$$

$$c_2 = \frac{\lambda}{2} \cdot \frac{a-b}{a} - \frac{a+e}{a+b} \cdot \frac{b}{2a}$$

$$\lambda = \frac{(2a+b)(a+e)bh' - \kappa a^3(e-b)}{(a+b)[2h'(a^2+ab+b^2)+b^3+\kappa a^3]}$$



$A_m$  – površina unutar zatvorenog rebra  
 $s$  – razmak poprečnih nosača



# Proračun ortotropnih ploča

## Proračun ploče na nepopustljivim osloncima (Sistem 2)

### Pelikan-Eßlinger metoda

- za dimenzioniranje čeličnih ortotropnih ploča prema prometnim shemama opterećenja (SLW , EN1991-2)
- dijagrami su izrađeni prema Huberovoj jednadžbi sa pretpostavkom da je poprečna krutost zanemariva
- dvije faze proračuna – Sistem 2 i Sistem 3**

- određivanje geometrijskih i statičkih karakteristika rebra, ploče i poprečnih nosača

- određivanje krutosti ploče po jediničnoj širini

$$D_y = \frac{EI_R}{a+e}$$

- Proračun krutosti ploče

$$EI_0 = \frac{Et_p^3}{10,92}$$

- proračun torzijske krutosti zatvorenog rebra

$$GI_T = G \frac{4 A_m^2}{\sum \frac{u}{t}}$$

- proračun redukcijskog faktora torzijske krutosti

$$\frac{1}{\mu} = 1 - \frac{GI_T}{EI_0} \frac{\alpha^3}{12 \cdot (a+e)^2} \left( \frac{\pi}{s_2} \right) \left[ \left( \frac{e}{a} \right)^3 + \left( \frac{e-b}{a+b} \right)^2 + \lambda \left( \frac{b}{a} \right)^3 \right] + \left[ \frac{24}{\kappa} \frac{h'}{\alpha} \left( c_1^2 + c_1 c_2 + \frac{c_2^2}{3} \right) \right]$$

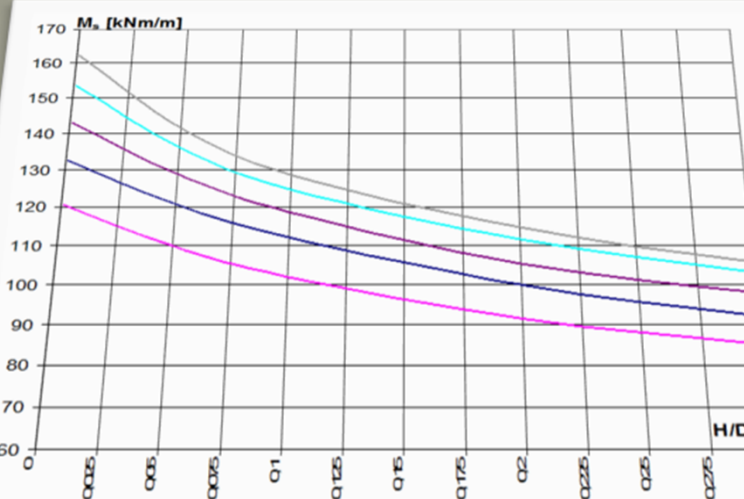
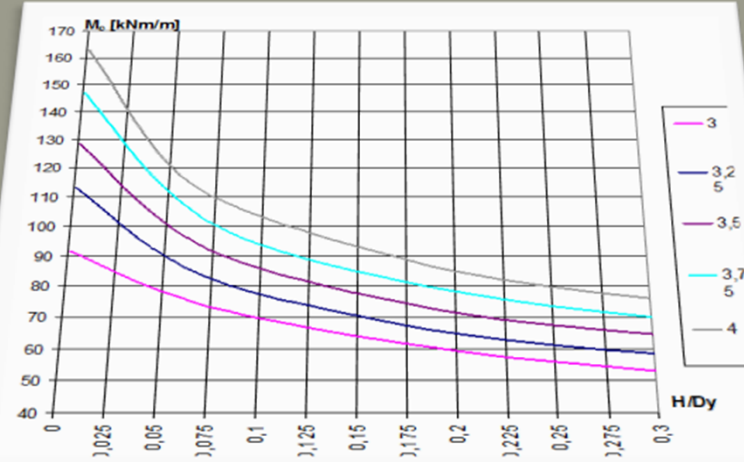
- proračun torzijske krutosti po jedinici širine

$$H = \frac{\mu GI_T}{2(a+e)}$$

- proračun relevantnog parametra krutosti ploče

$$H / D_y$$

Očitati vrijednosti momenta savijanja za  $H/D_y$





## Proračun ortotropnih ploča

### Pelikan-Eßlinger metoda

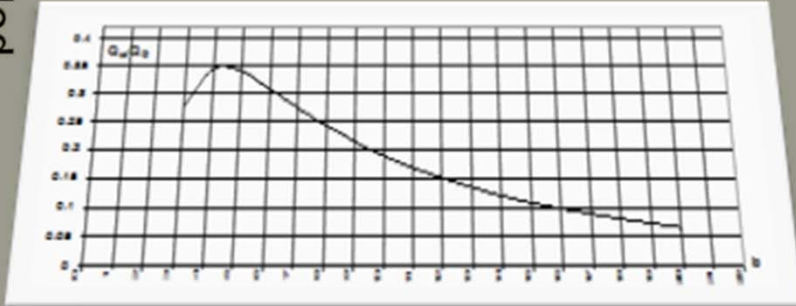
- za dimenzioniranje čeličnih ortotropnih ploča prema prometnim shemama opterećenja (SLW , EN1991-2)
- dijagrami su izrađeni prema Huberovoj jednadžbi sa pretpostavkom da je poprečna krutost zanemariva
- dvije faze proračuna – Sistem 2 i Sistem 3

Proračun utjecaja popuštanja poprečnih nosača (Sistem 3)

- odrediti bezdimenzionalni faktor  $\gamma$  kojim se izražava popuštanje oslonaca

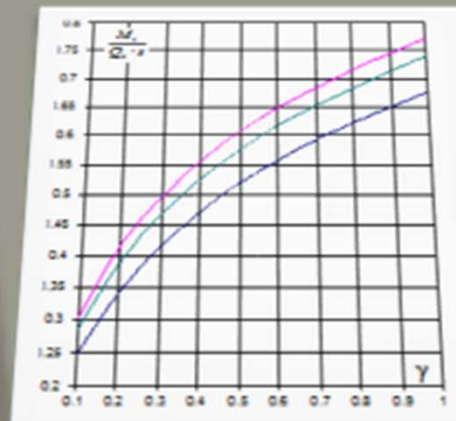
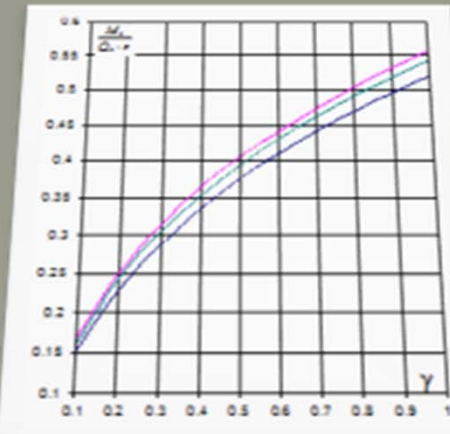
$$\gamma = \frac{b^4}{\pi^4 s^3 (a+e)} \frac{I_R}{I_Q}$$

- ovisno o rasponu poprečnih nosača  $b$  odrediti prvi član Fourierovog reda  $Q_x/Q_0$



$s$  – razmak poprečnih nosača

- za  $\gamma$  očitati bezdimenzionalni moment savijanja u polju i nad ležajem



- ukupna promjena momenta uslijed popuštanja poprečnih nosača iznosi:

$$\text{za polje } \Delta M_C = Q_0 \cdot s \cdot \frac{Q_x}{Q_0} \cdot \left( \frac{M_C}{Q_0 \cdot s} \right)$$

$$\text{za ležaj } \Delta M_S = Q_0 \cdot s \cdot \frac{Q_x}{Q_0} \cdot \left( \frac{M_S}{Q_0 \cdot s} \right)$$

$$Q_0 = \frac{\varphi \cdot P}{2g} \quad \text{pritisak jednog kotača}$$



## Proračun ortotropnih ploča

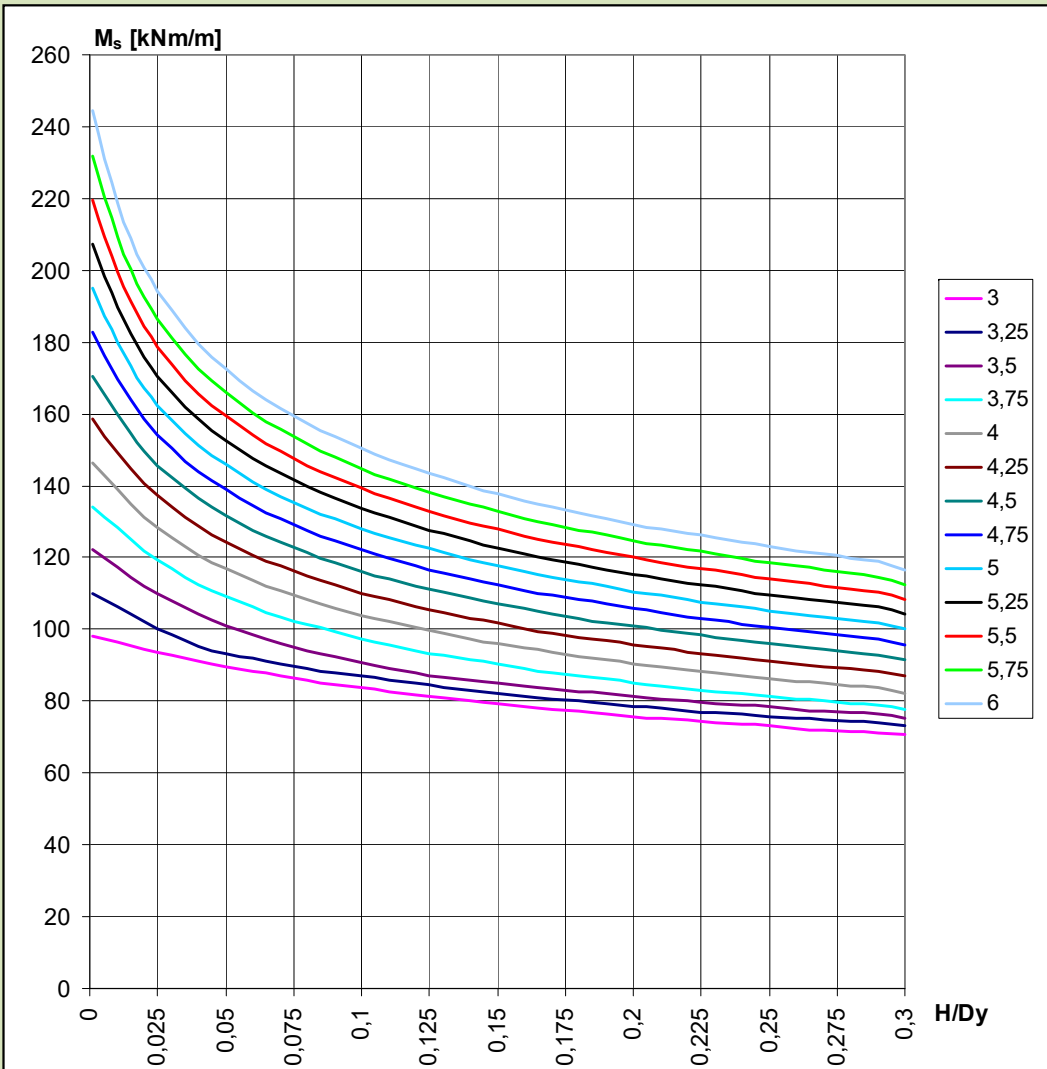
### Pelikan-Eßlinger metoda

- dijagrami za proračun prema EN 1991-2 shemama prometnog opterećenja

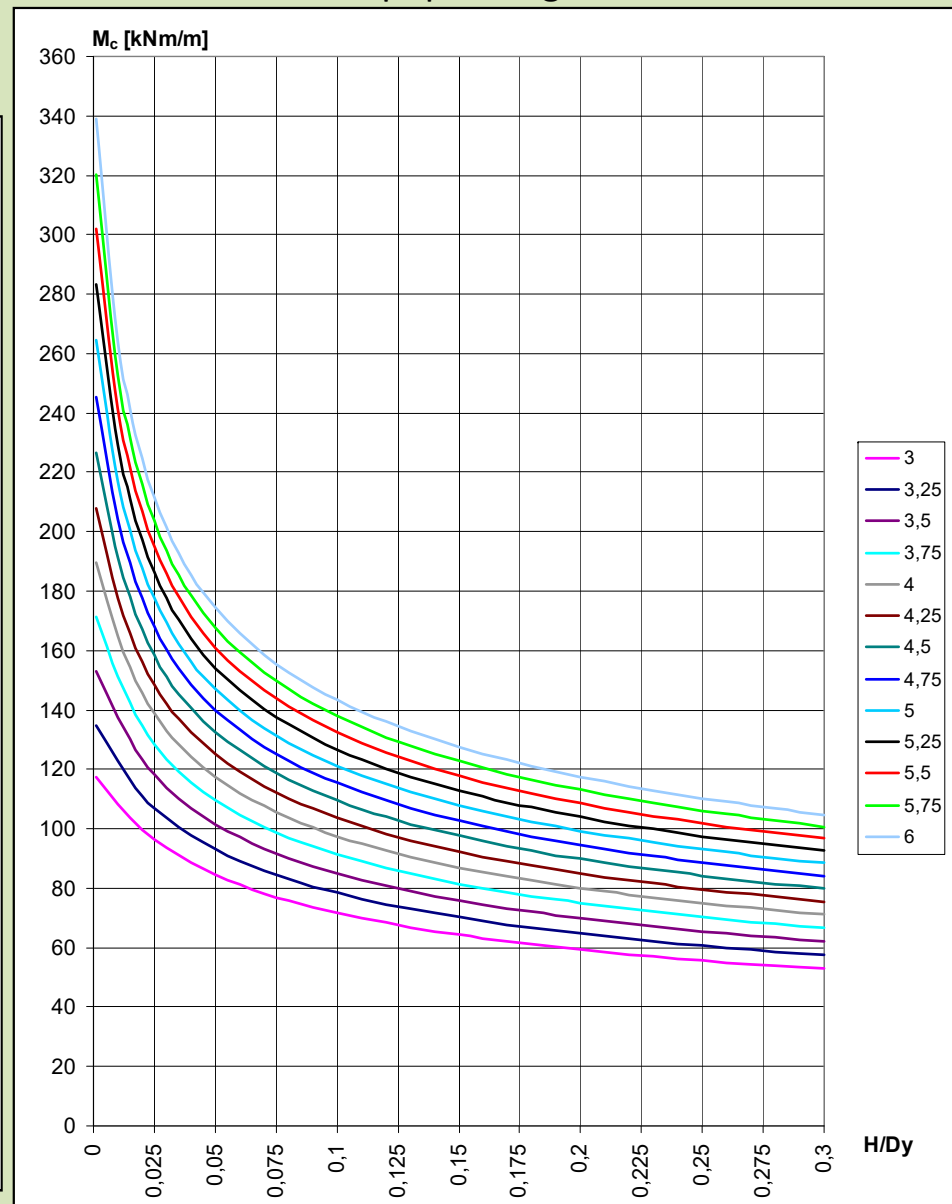
Momenti savijanja na nepopustljivim osloncima

Za shemu opterećenja s jednim vozilom:

Moment u polju:



Moment iznad poprečnog nosača:





## Proračun ortotropnih ploča

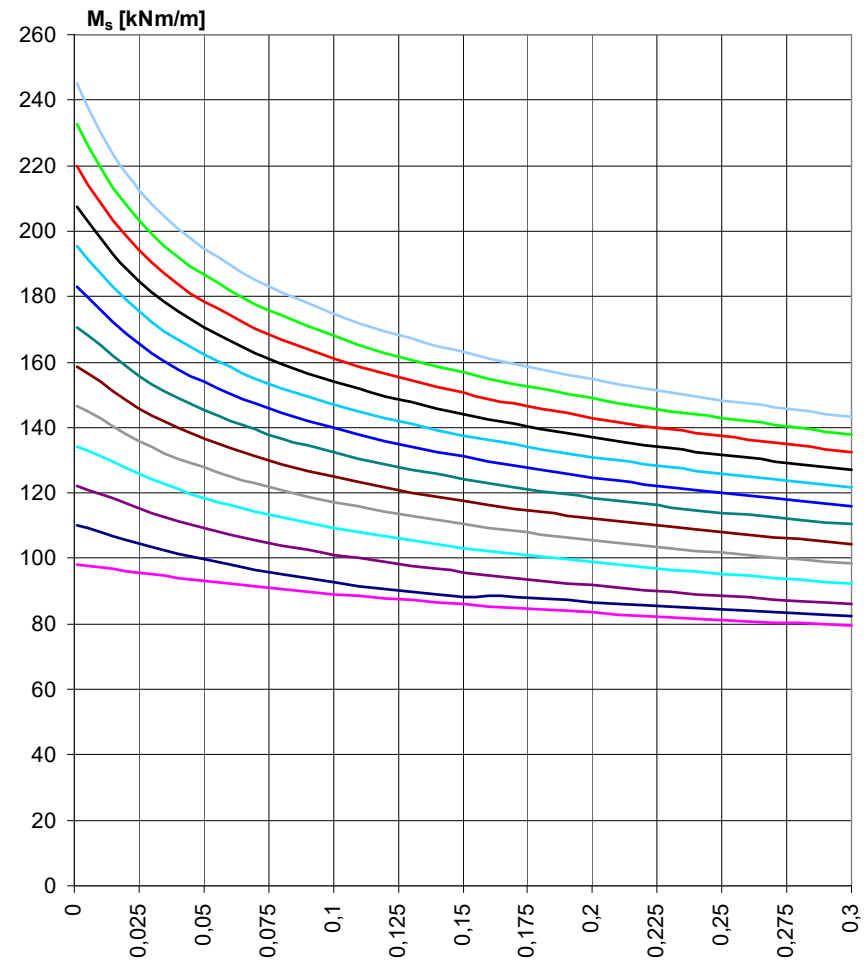
### Pelikan-Eßlinger metoda

- dijagrami za proračun prema EN 1991-2 shemama prometnog opterećenja

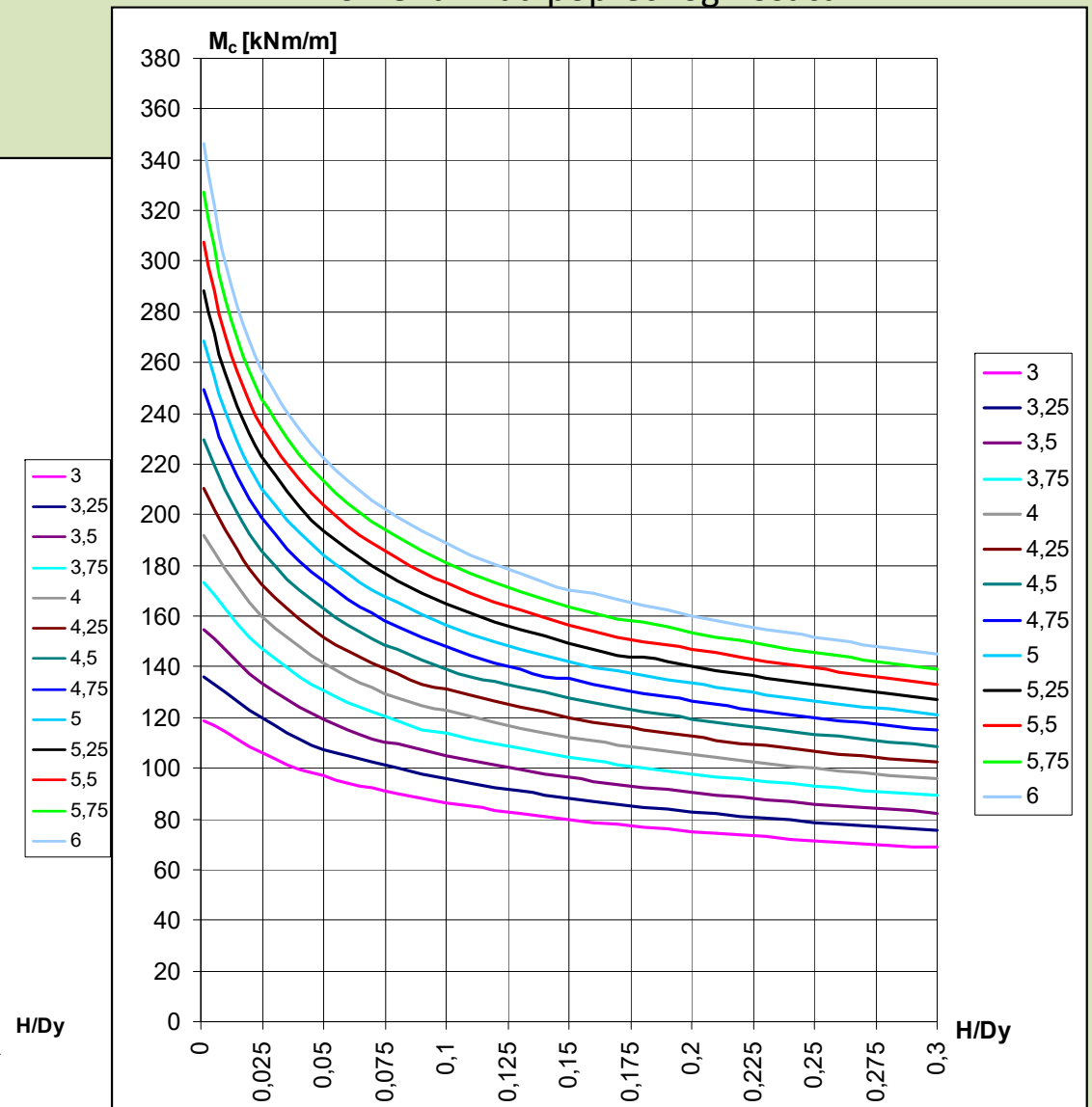
Momenti savijanja na nepopustljivim osloncima

Za shemu opterećenja s dva vozila:

Moment u polju:



Moment iznad poprečnog nosača:



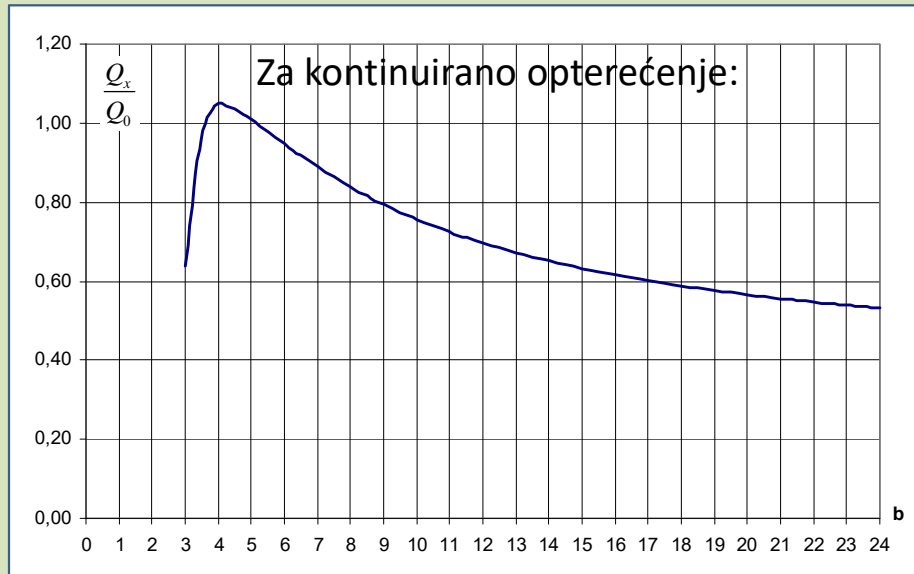
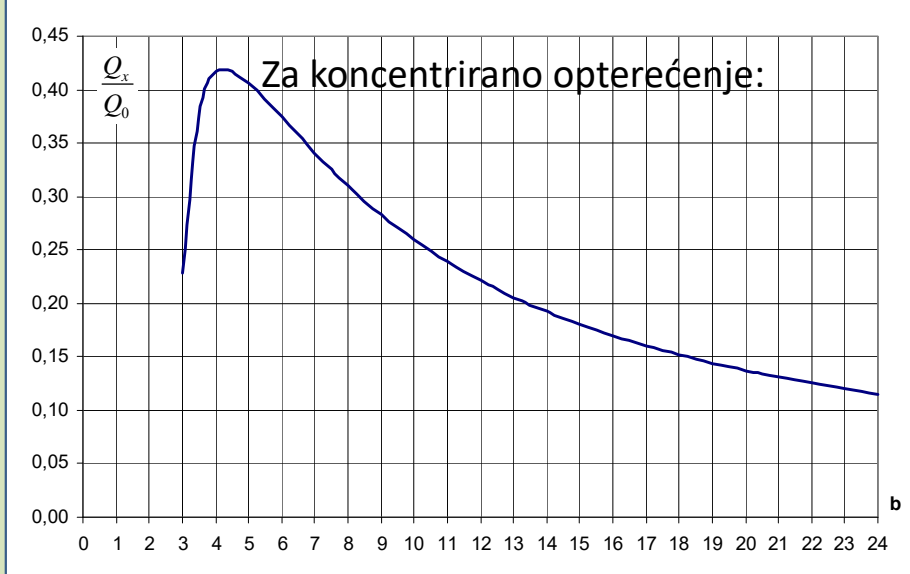


## Proračun ortotropnih ploča

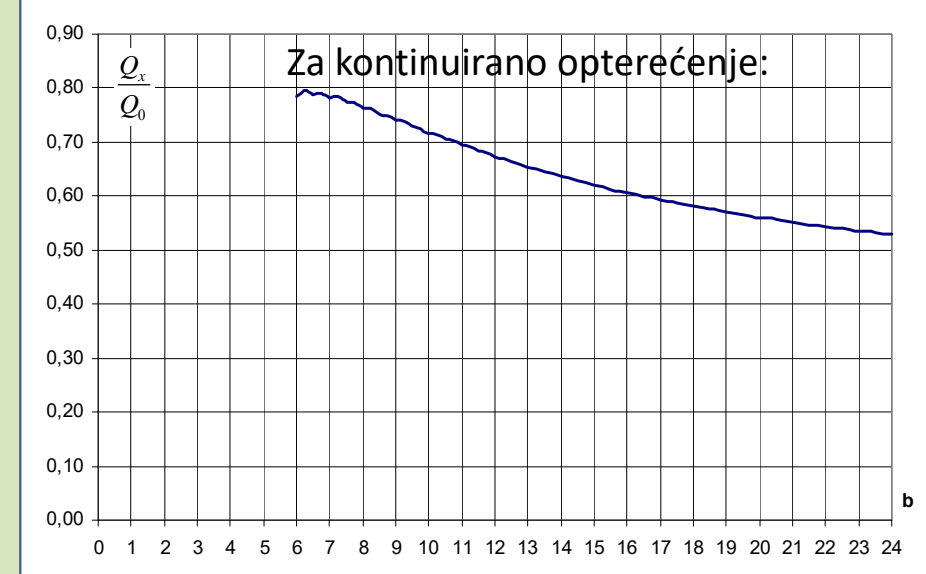
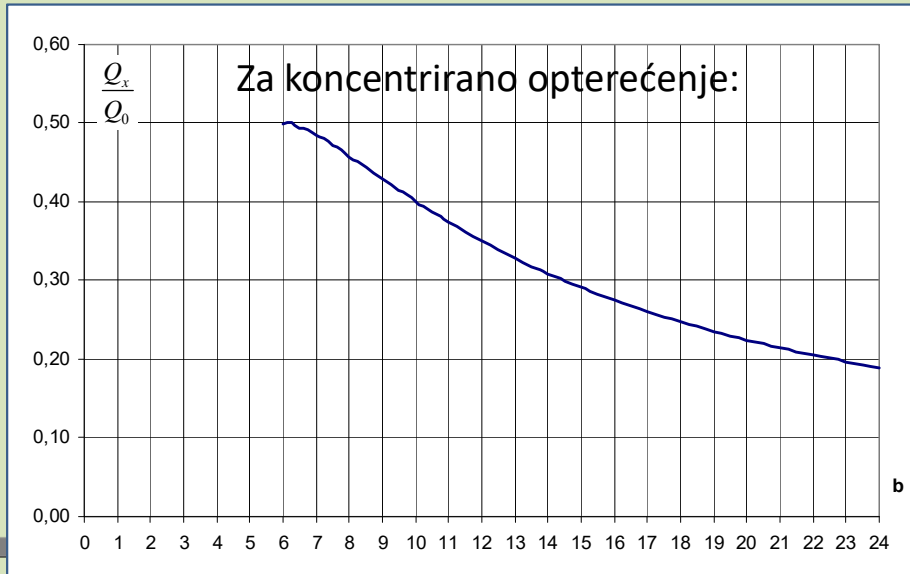
### Pelikan-Eßlinger metoda

- dijagrami za proračun prema EN 1991-2 shemama prometnog opterećenja

Za shemu opterećenja s jednim vozilom – bezdimenzionalni koeficijenti opterećenja:



Za shemu opterećenja s dva vozila - bezdimenzionalni koeficijenti opterećenja:



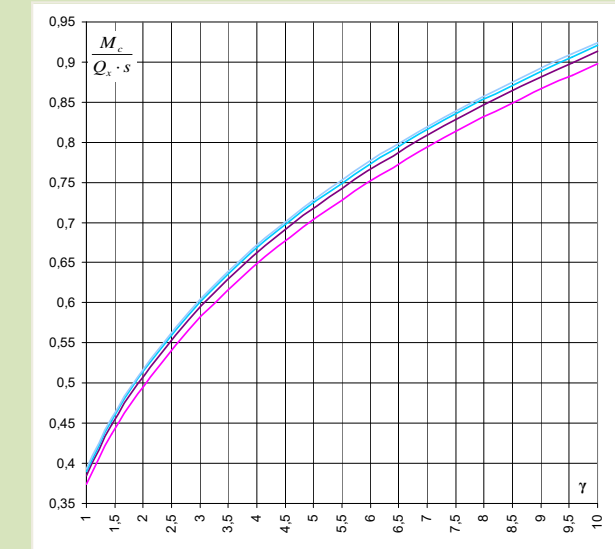
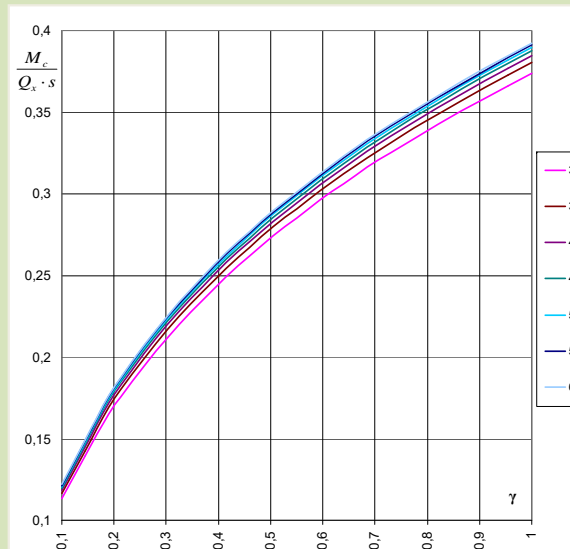
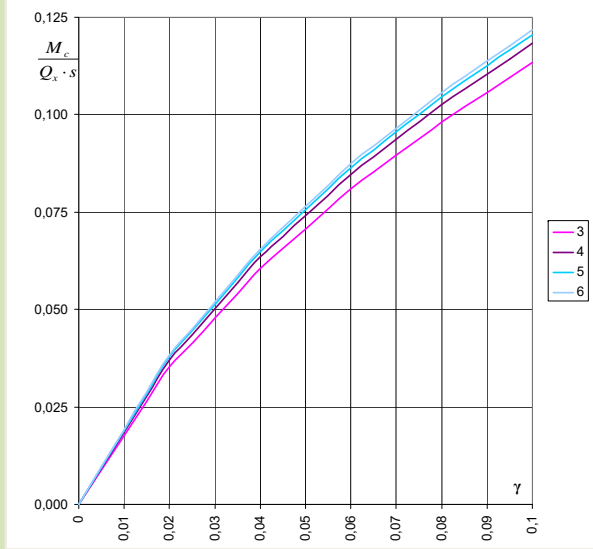


# Proračun ortotropnih ploča

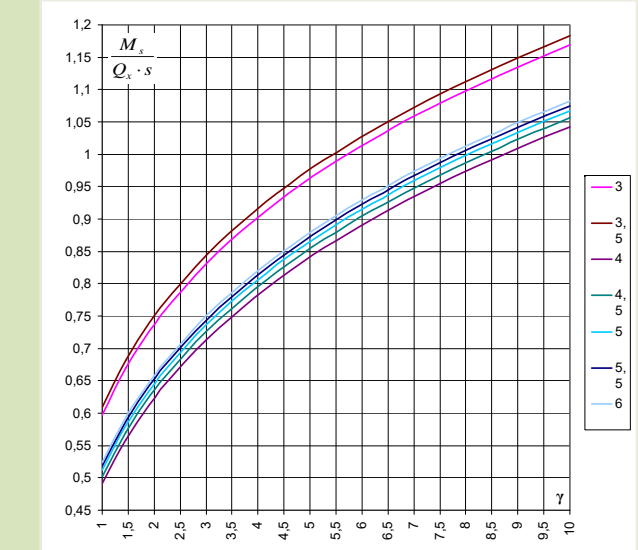
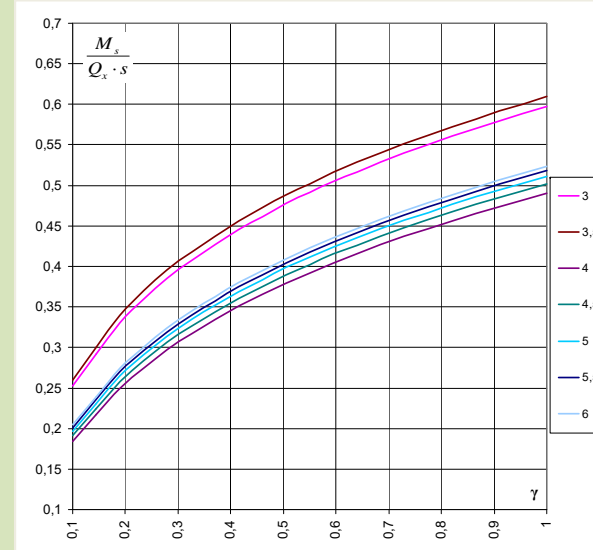
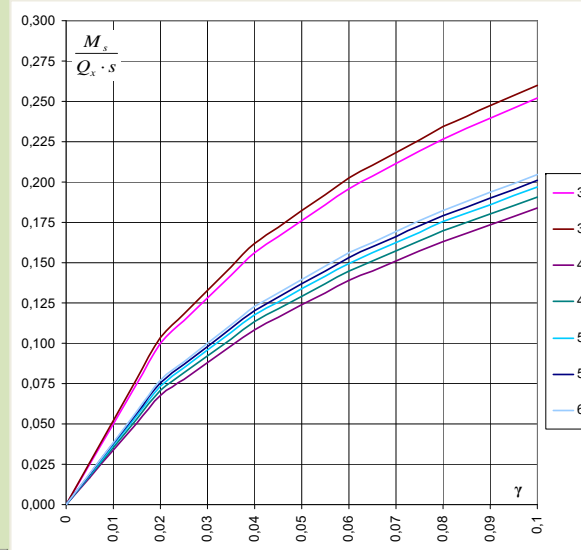
## Pelikan-Eßlinger metoda

- dijagrami za proračun prema EN 1991-2 shemama prometnog opterećenja

Momenti u polju od popuštanja poprečnih nosača (vozila):



Momenti iznad poprečnog nosača od njihovog popuštanja (vozila):



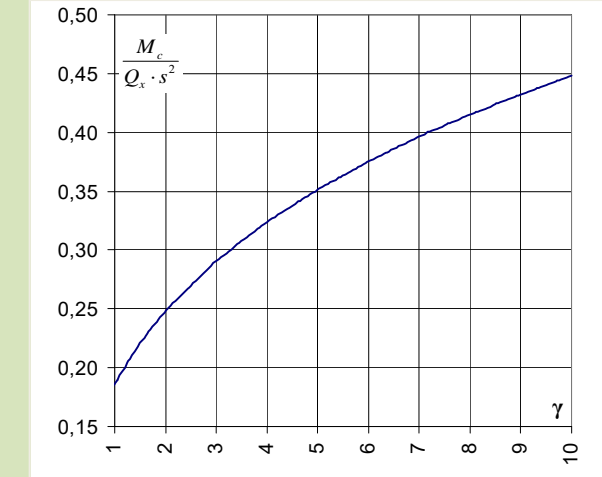
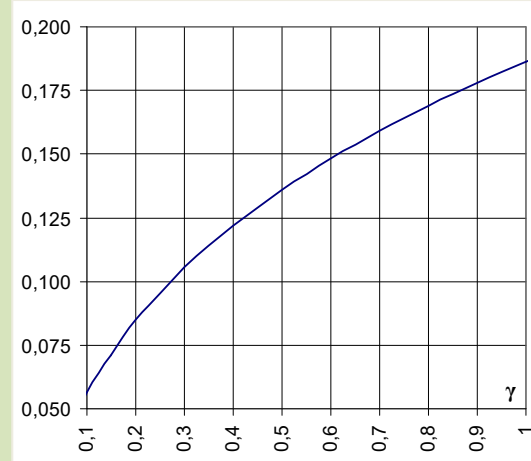
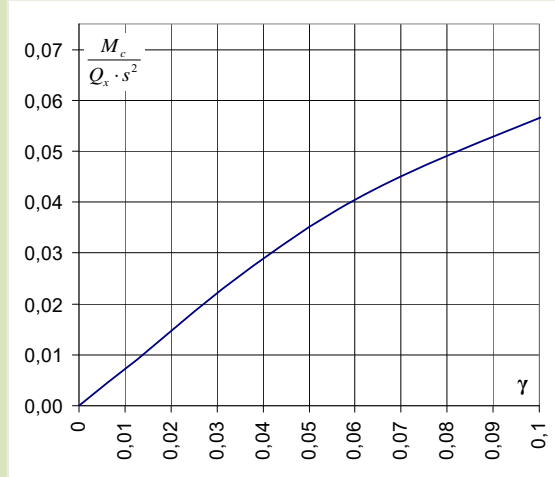


# Proračun ortotropnih ploča

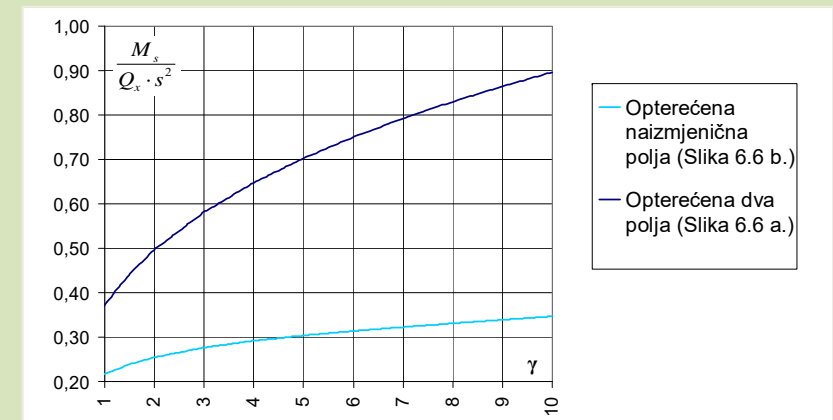
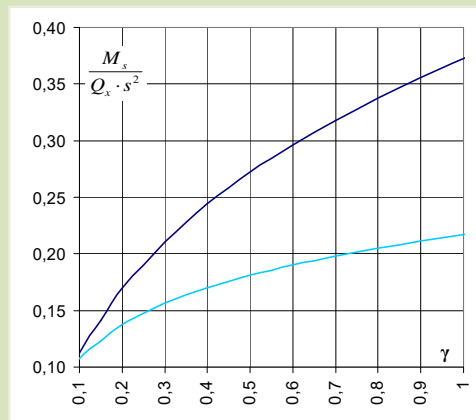
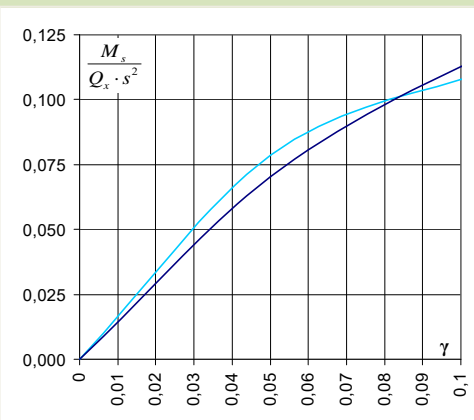
## Pelikan-Eßlinger metoda

- dijagrami za proračun prema EN 1991-2 shemama prometnog opterećenja

Momenti u polju od popuštanja poprečnih nosača (za kontinuirano opterećenje):

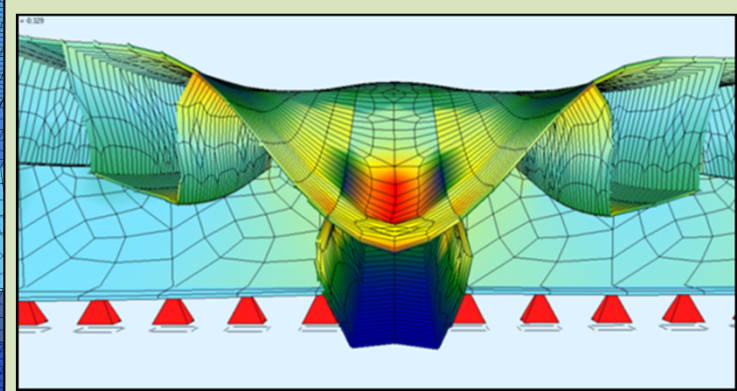
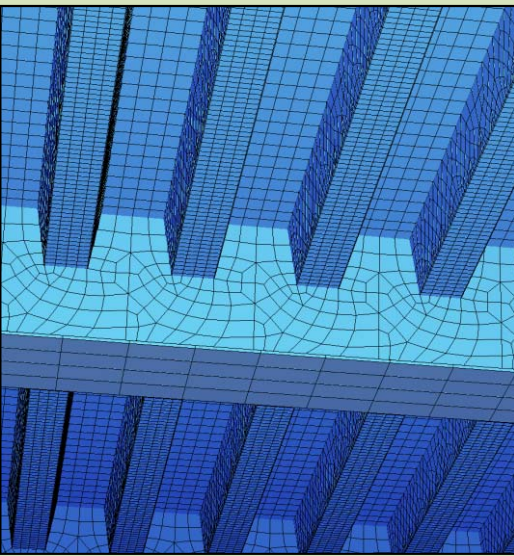
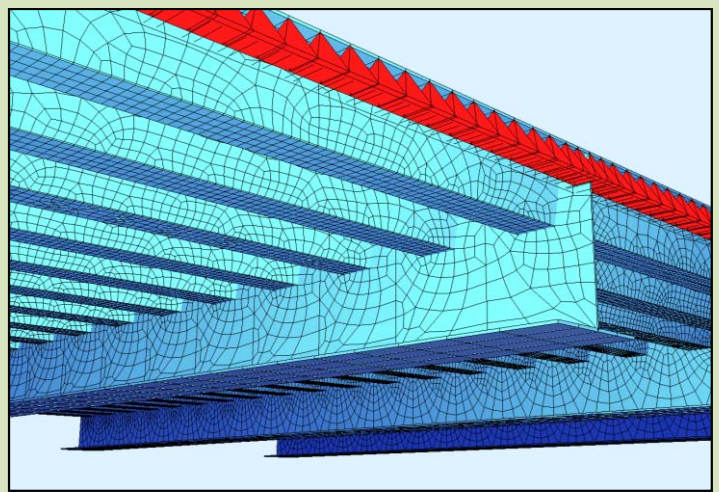
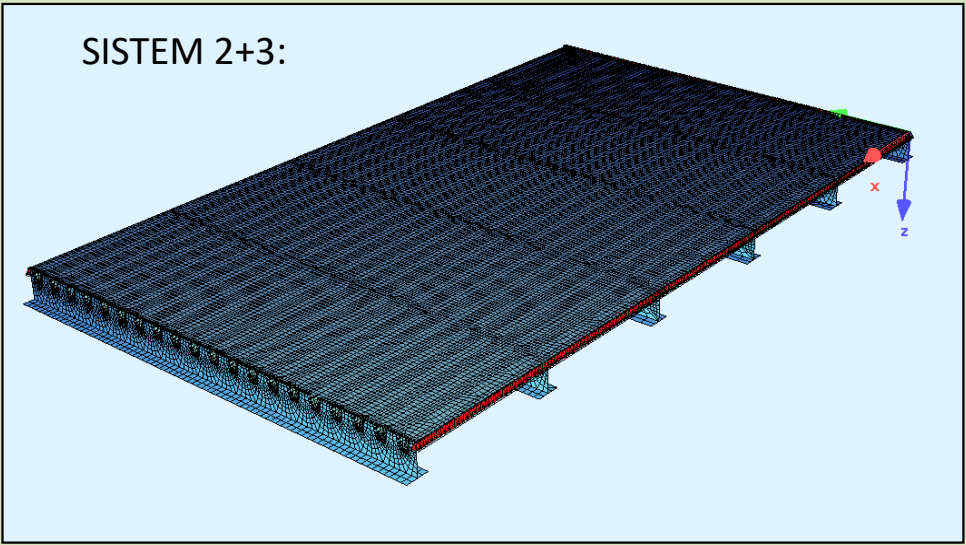
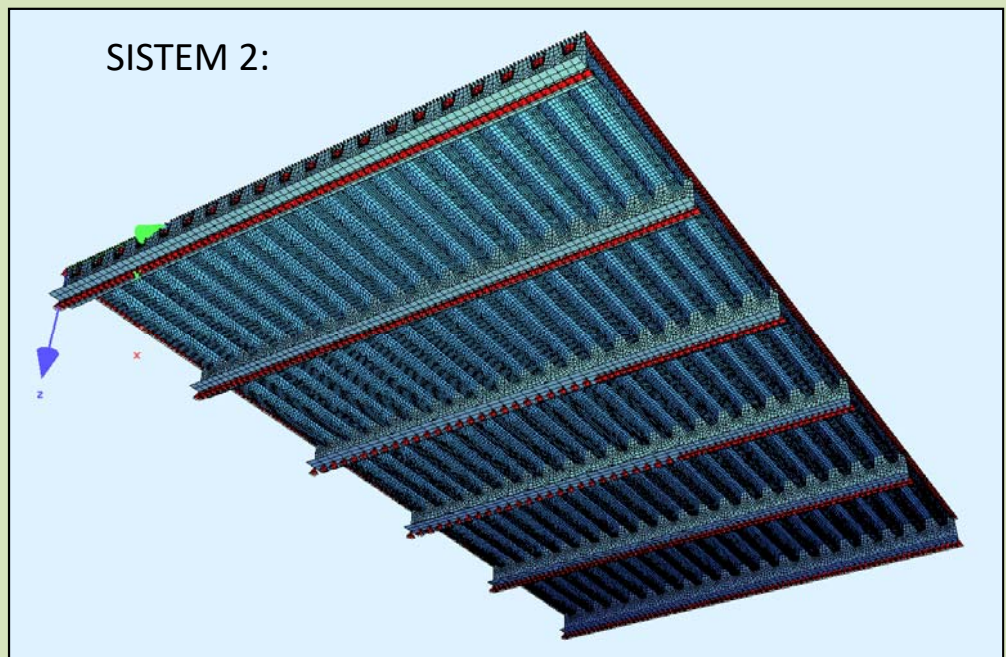


Momenti iznad poprečnog nosača od njihovog popuštanja (za kontinuirano opterećenje):





## Proračun ortotropnih ploča

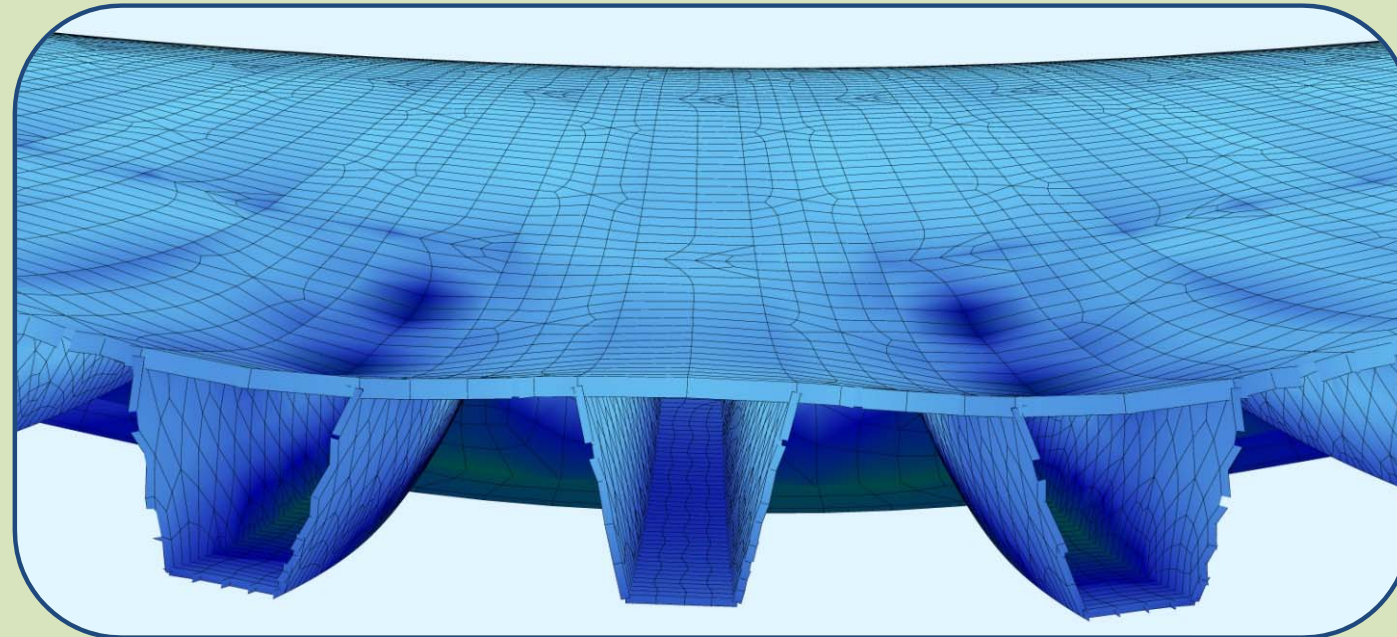
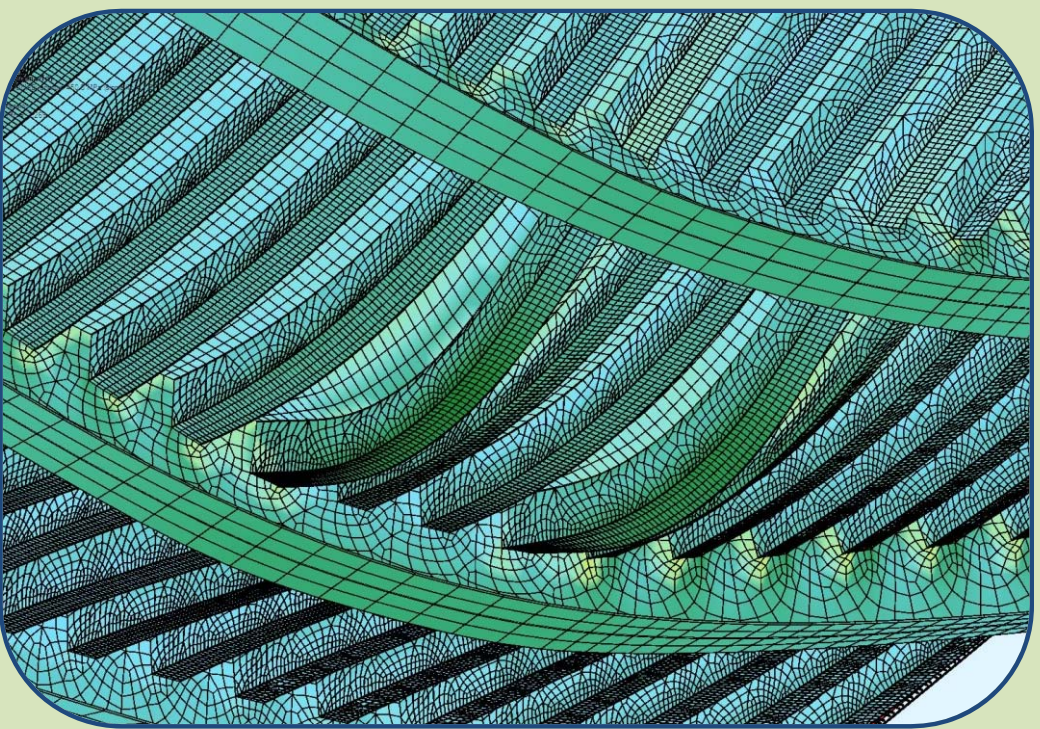
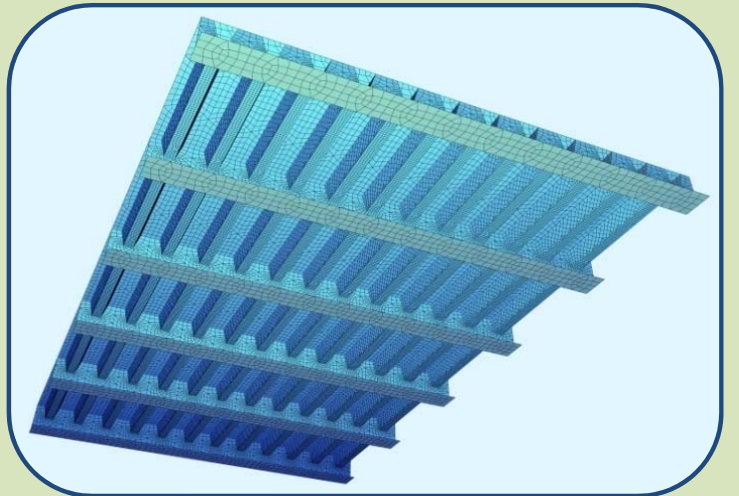




## Proračun ortotropnih ploča

Modeliranje čelične ortotropne ploče:

Izrada različitih numeričkih modela

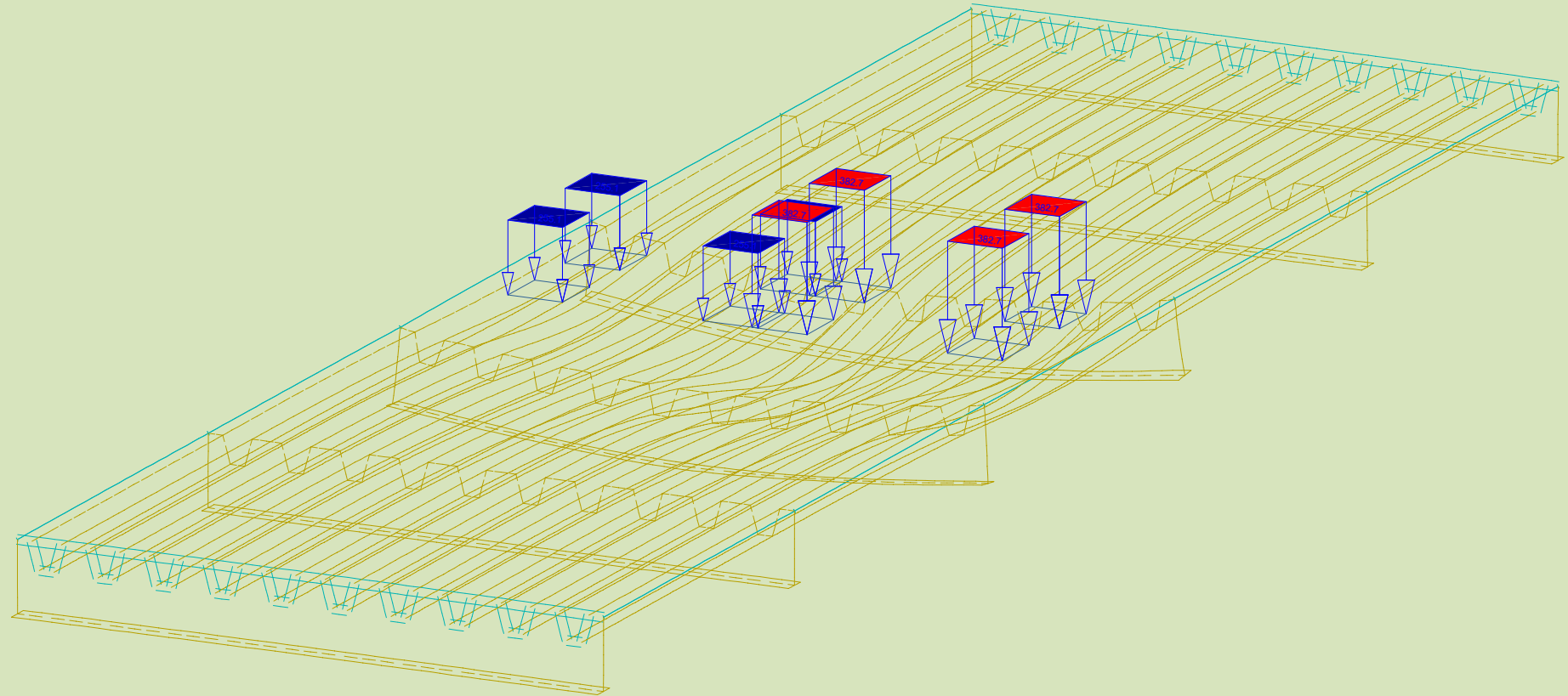




## Modeliranje čelične ortotropne ploče:

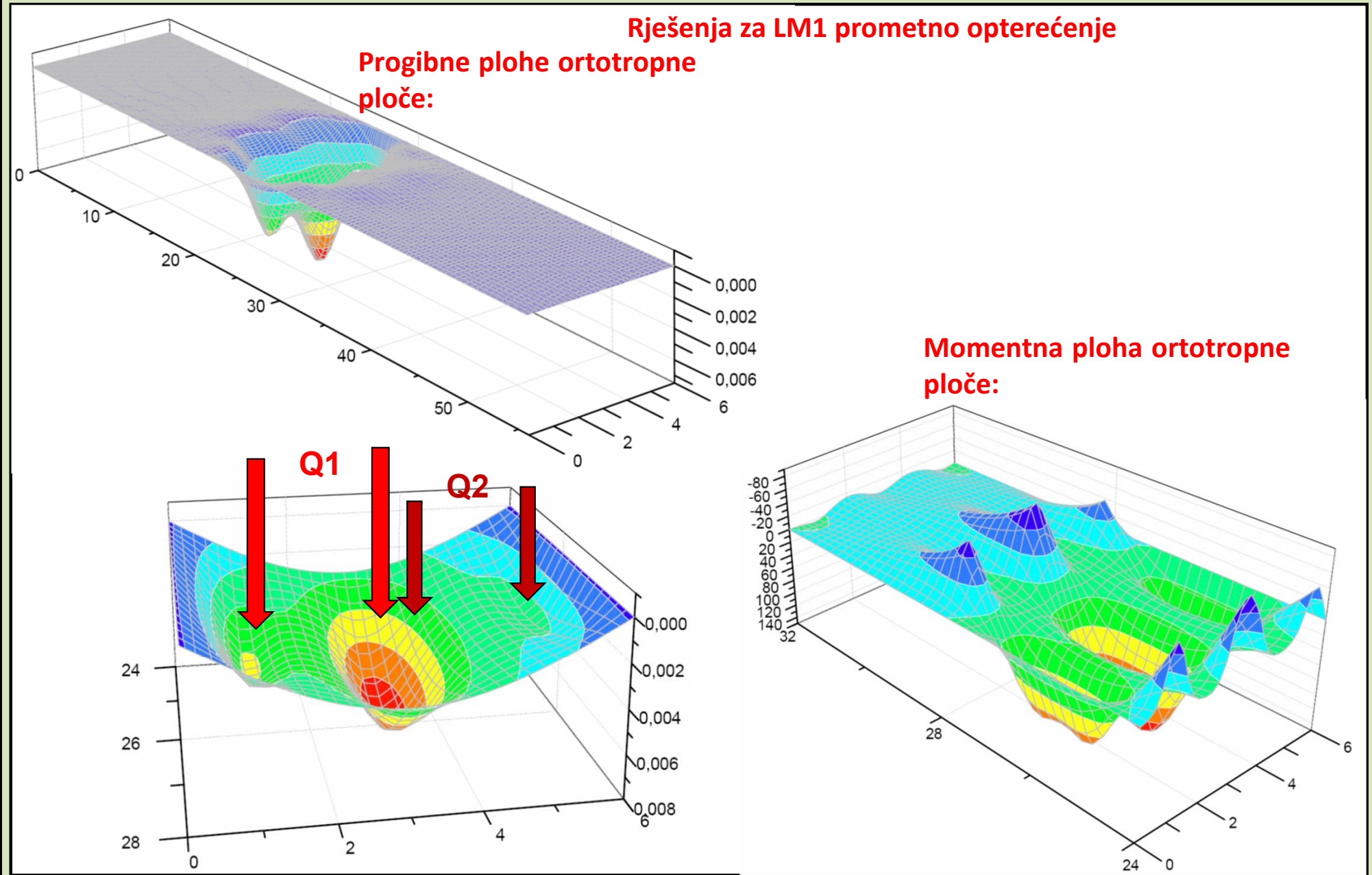
Izrada različitih numeričkih modela

### Proračun ortotropnih ploča





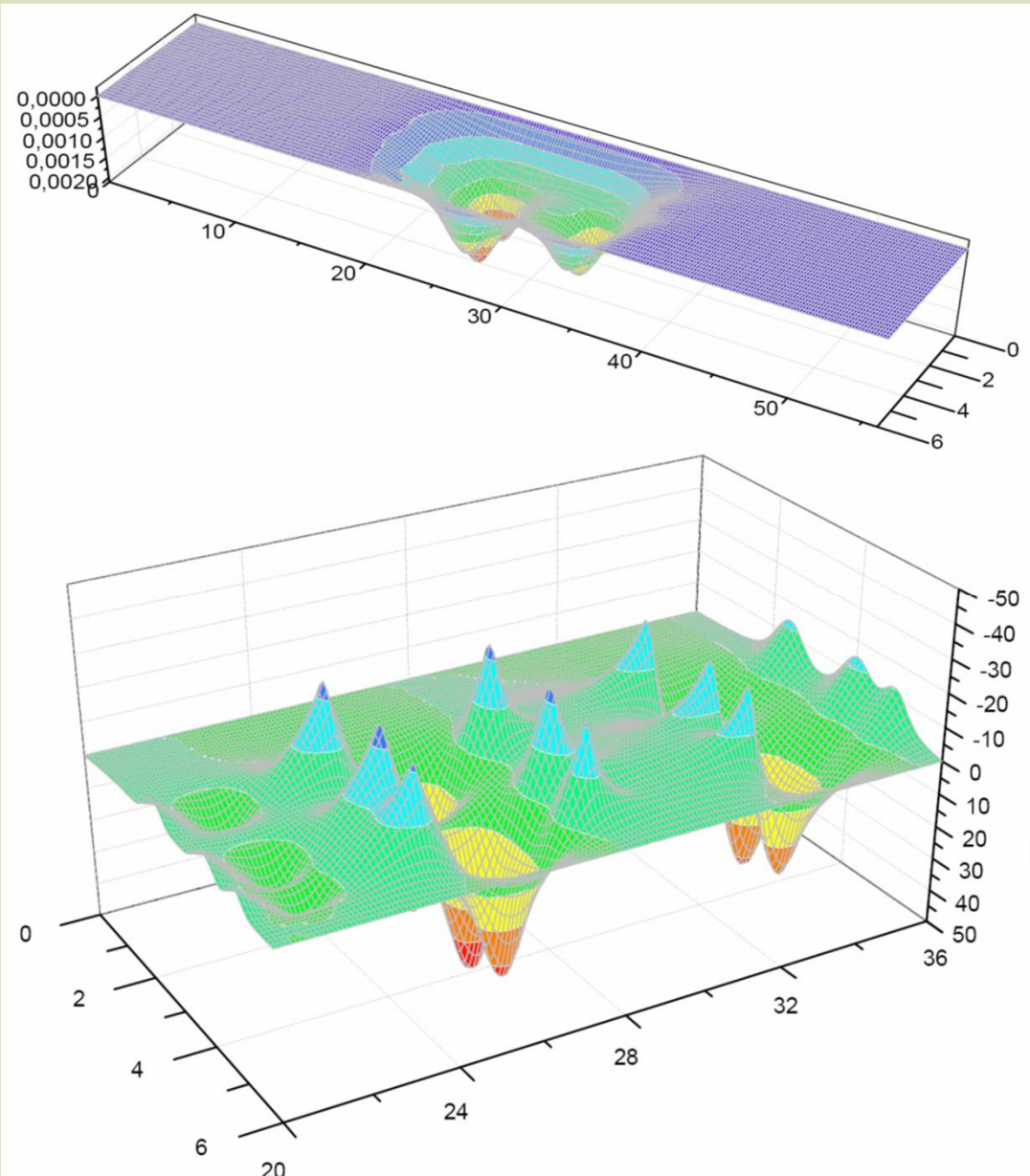
## Proračun ortotropnih ploča



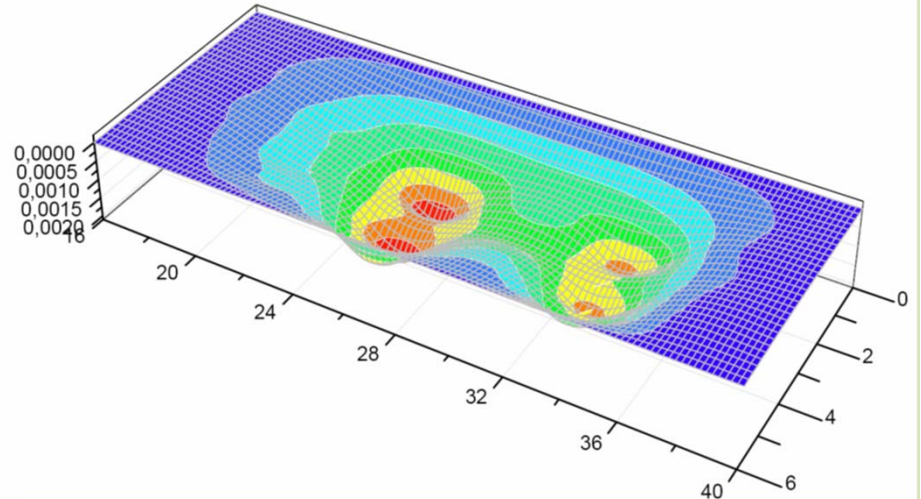
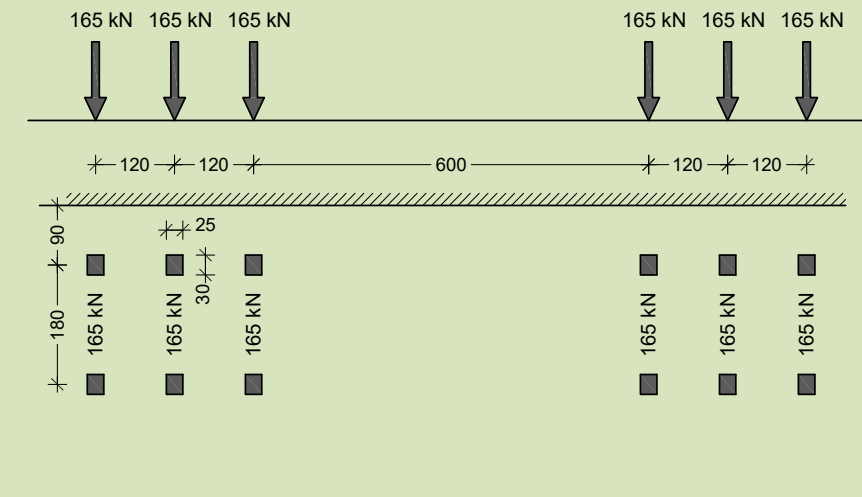


## Proračun ortotropnih ploča

### Rješenja za 6 osovinsko prometno opterećenje (Super Single Tire vozilo)



**Velika osjetljivost sustava na raspored  
osovina i kotača u osovinama!**

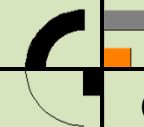




# Budućnost primjene ortotropne ploče

## Zahtjevi nosivosti, uporabljivosti i trajnosti

1. Dugi životni vijek od 80 do 120 godina. Osiguranje ovakvog životnog vijeka moguće je upotrebom ortotropnih ploča dostatne otpornosti na zamor i trajnosti zastora.
2. Smanjivanje težine konstrukcije za izvedbu mostova vrlo velikih raspona gdje vlastita težina mosta još uvijek čini glavninu ukupne nosivosti mosta. Ovo se može postići upotrebom čelika visoke čvrstoće i tankih kolničkih zastora.
3. Povećanje nosivosti za buduća prometna opterećenja. Već danas se primjećuje sve veća frekventnost pojavljivanja teških vozila u prometu, a veliki je problem i broj preopterećenih vozila.

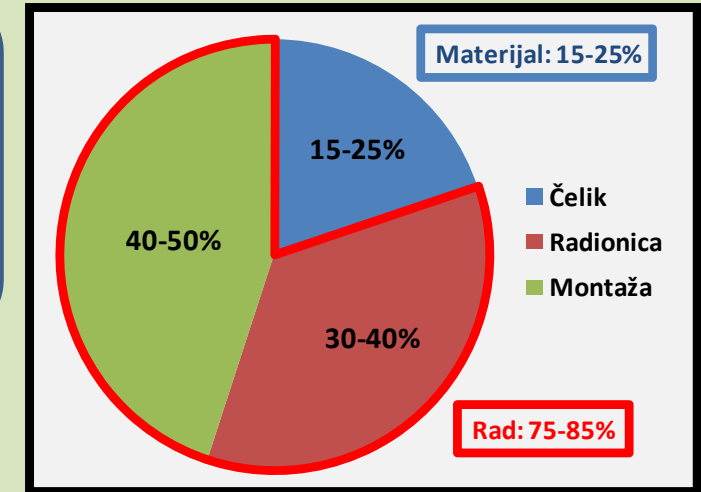
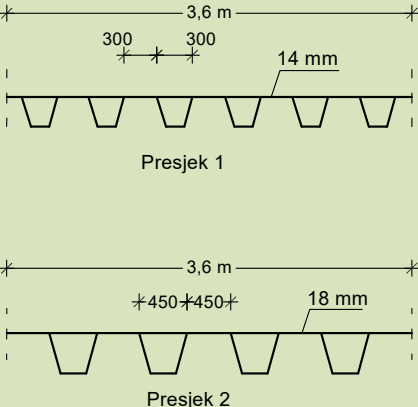
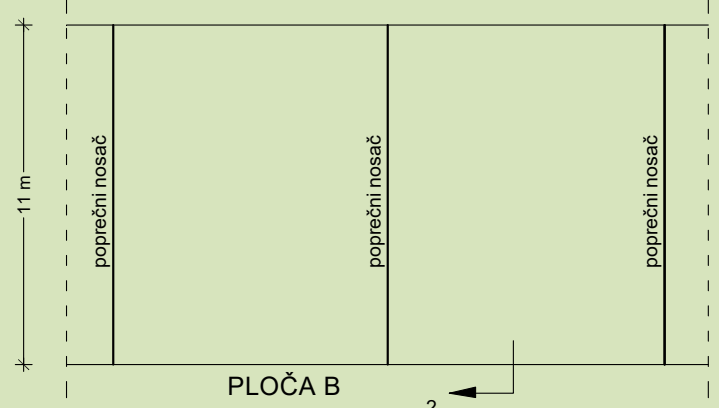
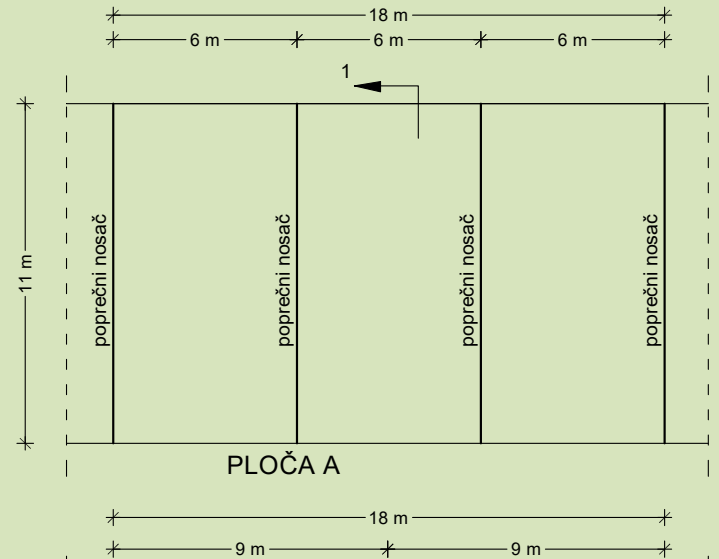




## Budućnost primjene ortotropne ploče

### Konstrukcijska optimizacija i povećanje ekonomičnosti

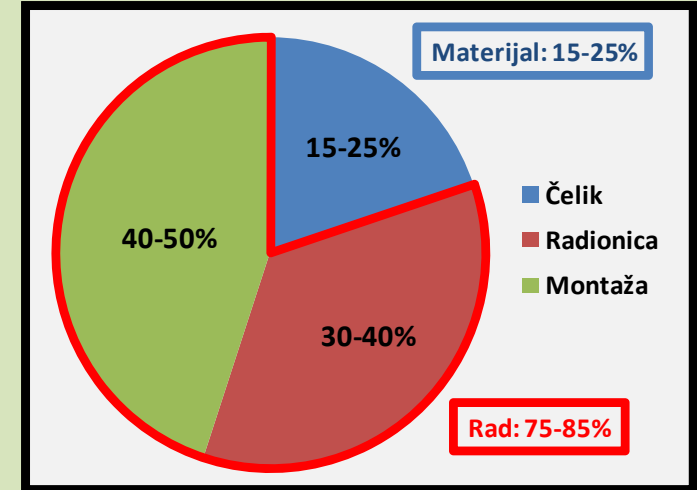
- upotreba ortotropnih ploča većeg raspona (razmaka poprečnih nosača)
- ukupni troškovi izrade ortotropne ploče najvećim su dijelom određeni troškovima rada
- broj (skupih) spojeva poprečnog nosača i rebra može se smanjiti?





## Konstrukcijska optimizacija i povećanje ekonomičnosti

- upotreba ortotropnih ploča većeg raspona (razmaka poprečnih nosača)
- ukupni troškovi izrade ortotropne ploče najvećim su dijelom određeni troškovima rada
- broj (skupih) spojeva poprečnog nosača i rebra može se smanjiti?



Prednosti	Nedostaci
manji broj skupih spojeva poprečni nosač - rebro	veća visina rebara i debljina ploče
veće iskorištenje torzijske krutosti rebra - - bolja raspodjela opterećenja na ostala rebra	veća visina poprečnih nosača
manja količina čelika za izradu poprečnih nosača	nedostatak iskustva u izvedbi i korištenju ovakvih ploča
za vitke poprečne nosače, spojevi poprečnog nosača i rebra mogu se izvoditi bez dodatnih izreza ispod rebra	<b>propisi nekih zemalja ne dopuštaju upotrebu ortotropnih ploča raspona većih od 5 m (DIN Fachbericht 103)</b>
veća krutost lima ploče zbog veće debljine - - bolje ponašanje ploče za zahtjeve zastora	



### Nova područja primjene

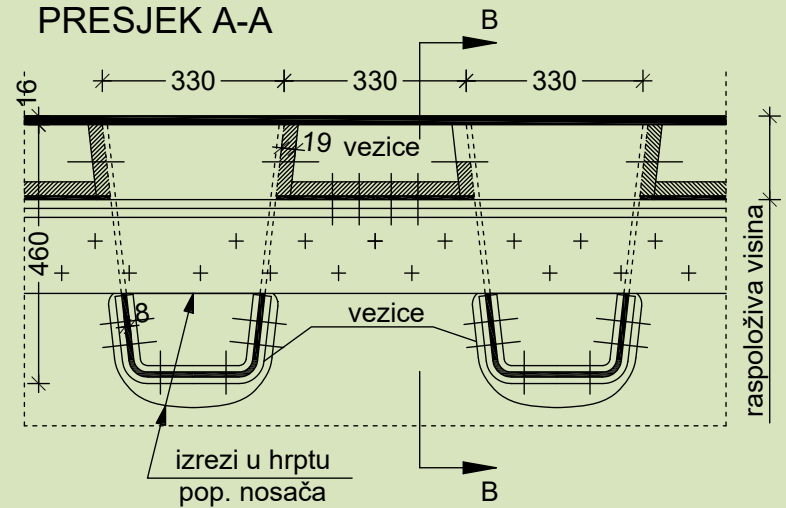
- U posljednje vrijeme se u svijetu ulažu velika sredstva u održavanje i popravak mostova izgrađenih u drugoj polovici 20.st.
- Glavni razlozi njihovog propadanja su povećani utjecaji teškog prometa i korozija armature uslijed otkazivanja hidroizolacije i korištenja soli za odleđivanje. Najkritičnije oštećeni dijelovi ovih mostova su betonske kolničke ploče, a troškovi popravka ovih ploča rastu eksponencijalno s njihovom starošću.
- Korištenje ortotropne ploče idealan je način zamjene ovih betonskih kolnika jer su one lakše od starog sustava, zamjenu je moguće učiniti relativno brzo uz minimalne prekide u prometu, trajnost nove ploče je veća od stare, a eliminiraju se i kritični dijelovi dilatacija stare kolničke ploče.
- Zbog manje ukupne vlastite težine, povećava se nosivost glavnog nosivog sustava mosta na pokretna opterećenja.



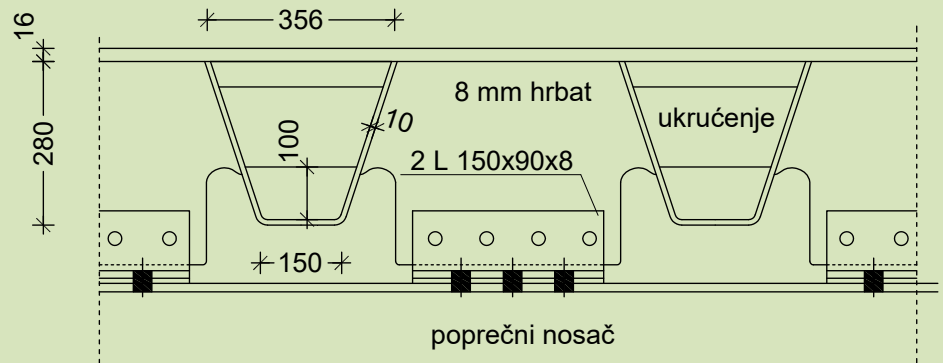
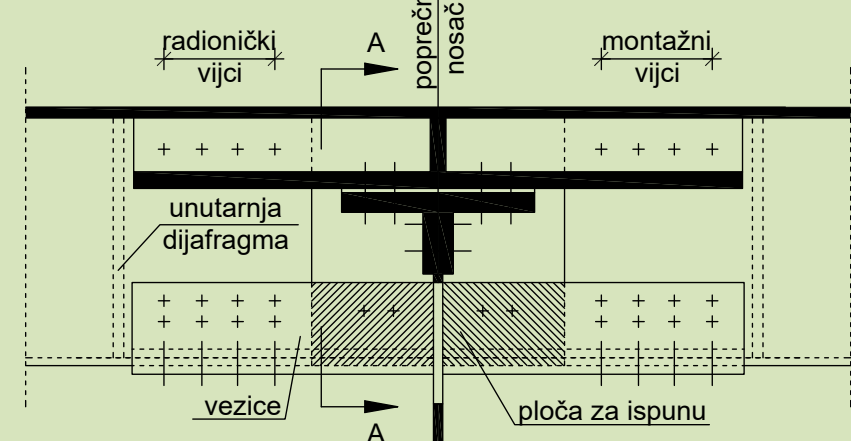
## Budućnost primjene ortotropne ploče

### Nova područja primjene

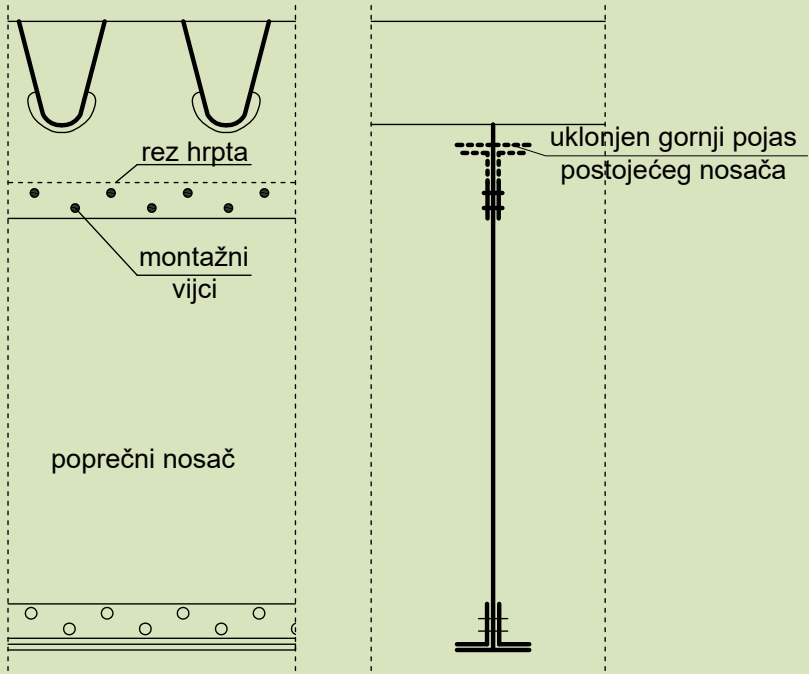
PRESJEK A-A



PRESJEK B-B



Spoj nove ortotropne ploče i postojećih hrptova poprečnih nosača



Problem koji se može javiti je da ne postoji dovoljna raspoloživa visina iznad postojećeg poprečnog nosača za upotrebu ploče sa rebrima koja prolaze kontinuirano.  
Moguće rješenje: podizanje nivelete ili se izvode specijalni detalji



## Standardizacija proizvodnje

- Standardizirana proizvodnja ortotropnih ploča podrazumijeva niz precizno definiranih detalja, postupaka izvedbe i kontrole kvalitete.
- Jasno definirane specifikacije omogućile bi proizvodnju standardiziranih ortotropnih ploča bez potrebe za detaljnim analitičkim i numeričkim proračunima.
- Eurocode je na tragu takvom pristupa, jer za neka tipska rješenja detalja ortotropnih ploča u mostogradnji daje jasne smjernice za projektiranje.
- Poštivanjem tih smjernica dozvoljava se izostanak složenih numeričkih dokaza otpornosti na zamor.
- Japanske norme propisuju slična pravila.





## Ortotropne ploče u Hrvatskoj

### 1. razdoblje - od kraja II. svjetskog rata do Domovinskog rata

- ortotropna ploča kao sustav se tek počinje primjenjivati – prvo na pokretnom mostu
- uglavnom se preuzimaju tipovi i izvedba iz Njemačke gdje se tada događaju najveći razvoj
- ukupno 11 mostova





## 1. razdoblje - od kraja II. svjetskog rata do Domovinskog rata

- mostovi preko naših velikih rijeka na sjeveroistoku zemlje (Sava, Drava, Dunav)

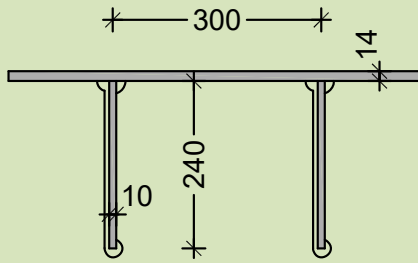
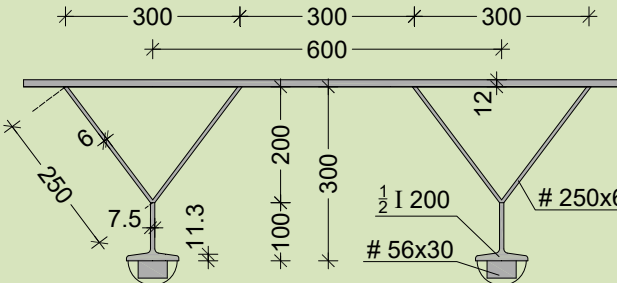
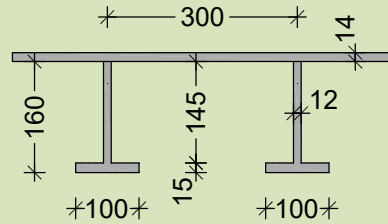




## Ortotropne ploče u Hrvatskoj

### 1. razdoblje - od kraja II. svjetskog rata do Domovinskog rata

Oblici rebra





## Ortotropne ploče u Hrvatskoj

### 2. razdoblje – mostovi nakon Domovinskog rata

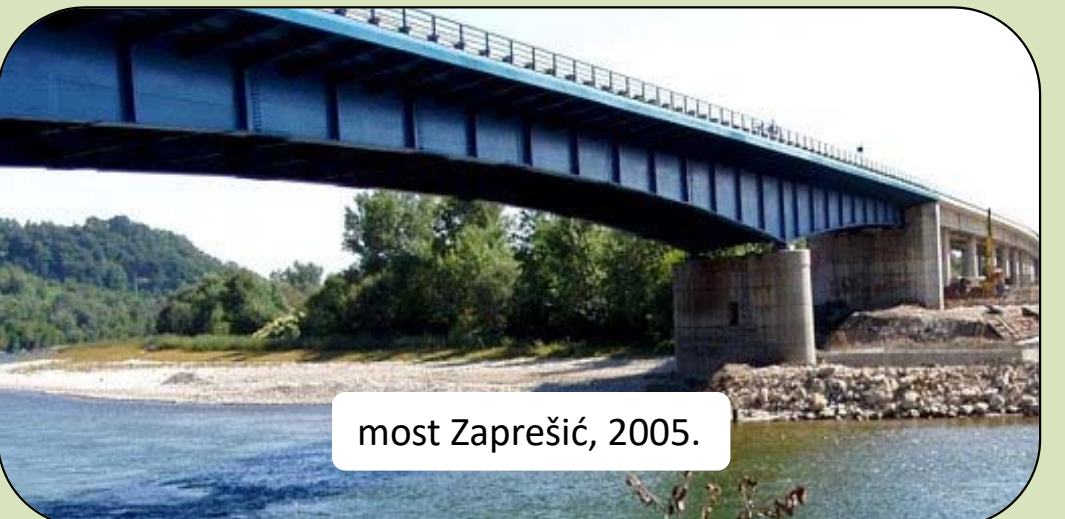
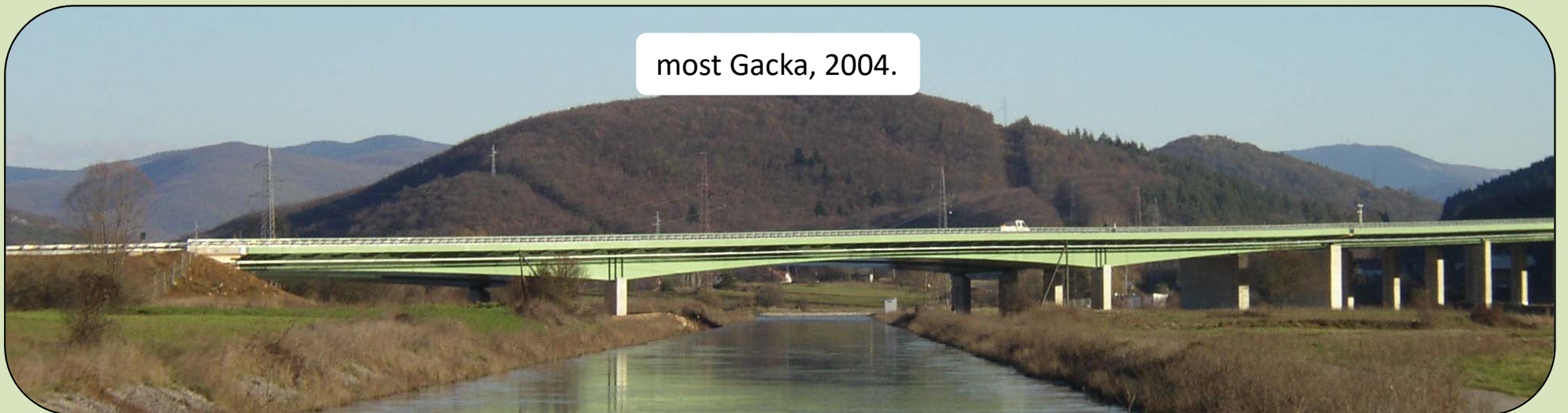
- mnogo ortotropnih ploča se izvodi u sklopu obnove u ratu porušenih mostova





## 2. razdoblje – mostovi nakon Domovinskog rata

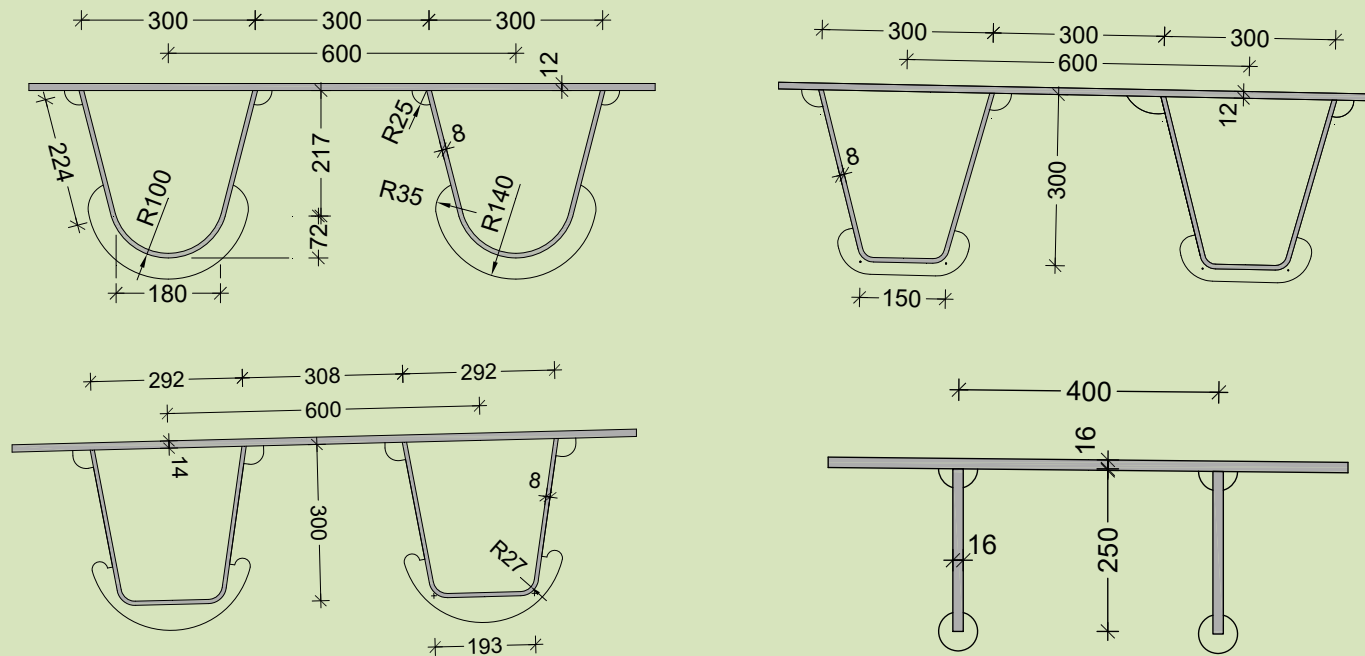
– mostovi sa ortotropnim pločama u sklopu intenzivne cestogradnje





## 2. razdoblje – mostovi nakon Domovinskog rata

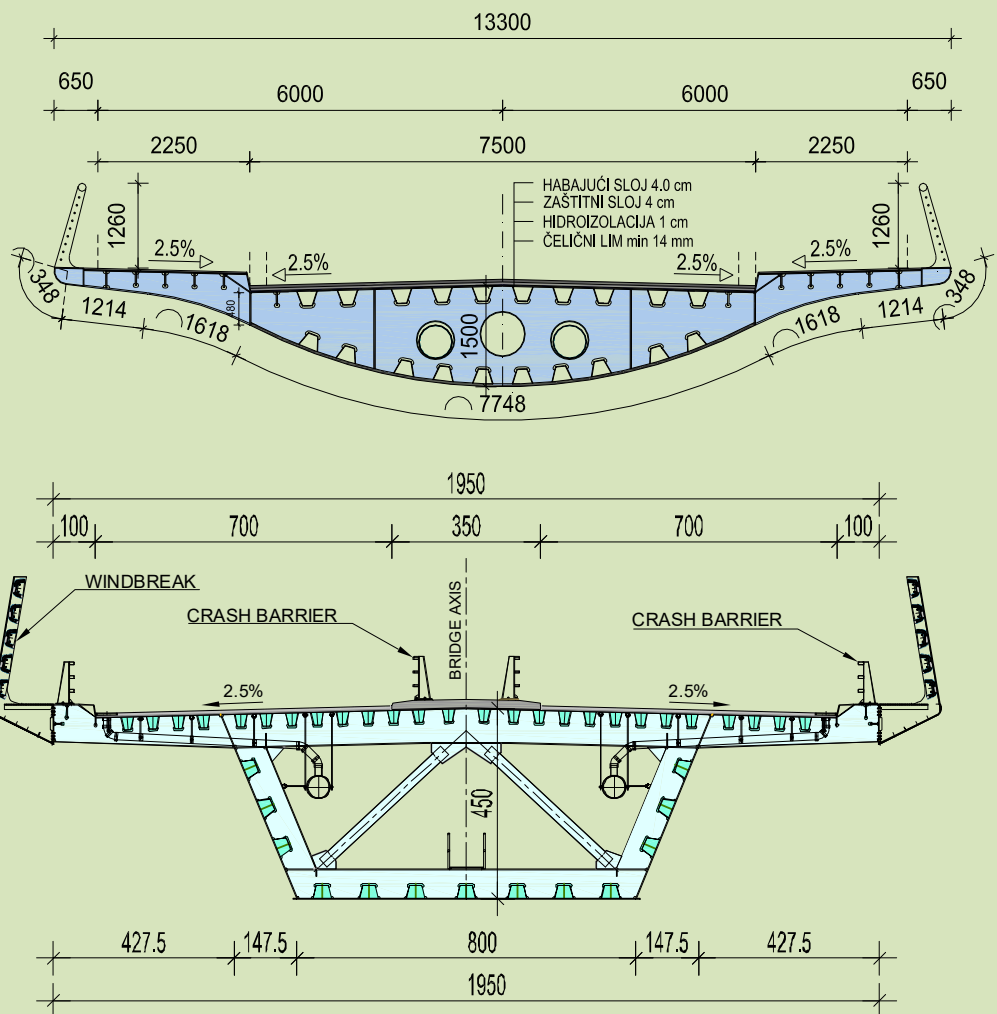
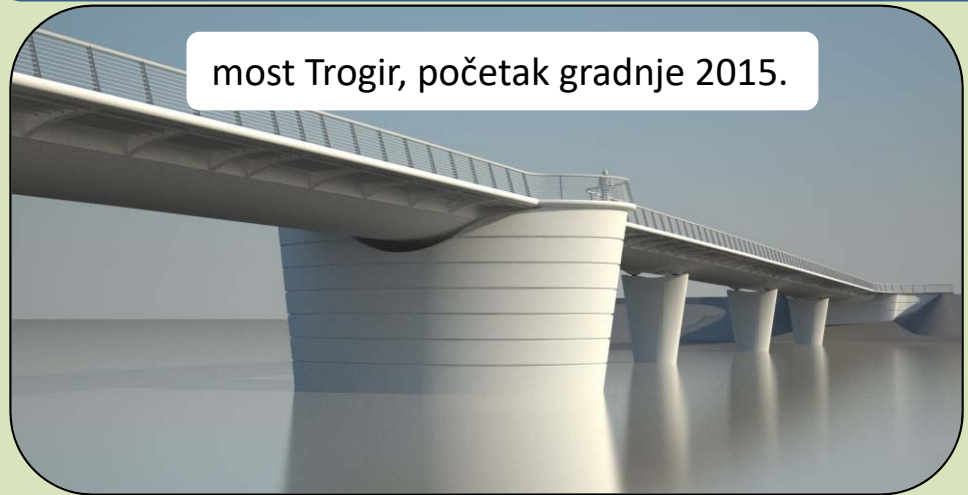
Oblici rebra





## 3. razdoblje – mostovi u projektiranju i/ili izvedbi

- u sklopu završetka Hrvatske mreže autocesta
- dva najveća i najznačajnija su most Trogir i Pelješki most





## Ortotropne ploče u Hrvatskoj

### Intenzitet izgradnje mostova s ortotropnim pločama po razdobljima

